

państwowa służba
geologiczna

PROGNOZA SYTUACJI HYDROGEOLOGICZNEJ W STREFACH ZASILANIA I POBORU WÓD PODZIEMNYCH

OD: 01.04.2025
DO: 30.04.2025

WARSZAWA
MARZEC 2025



Państwowy Instytut Geologiczny
Państwowy Instytut Badawczy

pgi.gov.pl

3/2025

PROGNOZA SYTUACJI HYDROGEOLOGICZNEJ W STREFACH ZASILANIA I POBORU WÓD PODZIEMNYCH

OD: 01.04.2025

DO: 30.04.2025

Redaktor naukowy: dr Małgorzata Woźnicka

Opracowanie merytoryczne: mgr Urszula Czarniecka-Januszczuk, mgr Agnieszka Kowalczyk,
mgr Izabela Stępińska-Drygała, mgr Dorota Olędzka, mgr Piotr Wesółowski

WARSZAWA
MARZEC 2025



**PROGNOZA SYTUACJI HYDROGEOLOGICZNEJ
W STREFACH ZASILANIA
I POBORU WÓD PODZIEMNYCH
na okres: 01.04.2025 – 30.04.2025**

Podstawa prawna: ustawa z dnia 20 lipca 2017 r.- Prawo wodne (Dz.U. 2024 poz. 1087, 1089, 1473) oraz rozporządzenie Ministra Infrastruktury z dnia 24 października 2023 r. w sprawie ostrzeżeń, prognoz, komunikatów, biuletynów i roczników państwowej służby hydrologiczno-meteorologicznej i państwowej służby geologicznej (Dz.U. 2023 poz. 2430).

Prognoza przedstawia opis przewidywanego rozwoju sytuacji hydrogeologicznej na obszarze kraju w strefach zasilania i poboru wód podziemnych w okresie od 1 do 30 kwietnia 2025 r. Opracowanie obejmuje analizę w zakresie położenia zwierciadła wód podziemnych, stanu rezerw zasobów zmiennych wód podziemnych oraz zagrożenia hydrogeologicznego.

Strefy zasilania wód podziemnych obejmują blisko 90% obszaru kraju. Zgodnie z aktualną informacją pozyskaną przez państwową służbę geologiczną (PSG) liczba ujęć wód podziemnych, które corocznie działają w ramach poboru rejestrowanego, wynosi w Polsce ponad 20 000. Ok. 90% spośród tych ujęć służy zaopatrzeniu ludności w wodę do spożycia. Według danych GUS wody podziemne stanowią ponad 70% wody przeznaczanej do spożycia przez ludzi i dystrybuowanej sieciami wodociągowymi na obszarze kraju¹. Są również źródłem wód dla zaspokojenia potrzeb gospodarstw domowych w ramach zwykłego korzystania z wód oraz zasilają ekosystemy zależne od wód podziemnych.

Przy założeniu wystąpienia w najbliższych tygodniach niekorzystnych warunków meteorologicznych (deficyt opadów atmosferycznych), niżówka hydrogeologiczna w prognozowanym okresie może występować na znacznych obszarach kraju, głównie, podobnie jak w poprzednich miesiącach, we wschodniej jego części. Zjawisko niżówki o zasięgu regionalnym prognozuje się w obrębie następujących województw: podlaskiego, warmińsko-mazurskiego, mazowieckiego, małopolskiego oraz lubelskiego, zachodniopomorskiego, kujawsko-pomorskiego, wielkopolskiego, łódzkiego, świętokrzyskiego, śląskiego i podkarpackiego. Lokalnie, zwierciadło pierwszego poziomu wodonośnego poniżej stanu niskiego ostrzegawczego (SNO) może układać się także na innych, niż wymienione powyżej, obszarach kraju.

Występowanie zwierciadła wód pierwszego poziomu wodonośnego poniżej poziomu SNO może powodować utrudnienia w zaopatrzeniu w wodę z płytkich ujęć wód podziemnych

¹ *Ochrona środowiska 2024*. Warszawa: Główny Urząd Statystyczny; 2024. ISSN: 0867-3217.

(indywidualne studnie gospodarskie) oraz z ujęć komunalnych eksploatujących pierwszy poziom wodonośny.

Prognozy mają na celu wskazanie tendencji rozwoju sytuacji hydrogeologicznej w nadchodzących tygodniach. Na potrzeby niniejszej prognozy wykorzystano wyniki pomiarów głębokości zwierciadła wód podziemnych w punktach sieci obserwacyjno-badawczej państwowej służby geologicznej, przy uwzględnieniu prognoz Instytutu Meteorologii i Gospodarki Wodnej - Państwowego Instytutu Badawczego. Wykorzystano również dostępne dane dotyczące ilości ustalonych zasobów dyspozycyjnych wód podziemnych² oraz Biuletynu Państwowej Służby Hydrologiczno-Meteorologicznej³. Analizy ujęto w skrajne scenariusze prawdopodobnego rozwoju regionalnej sytuacji hydrogeologicznej, w nawiązaniu do możliwych do wystąpienia warunków meteorologicznych.

Określenia bieżącej sytuacji hydrogeologicznej oraz prognozy wystąpienia niżówki hydrogeologicznej dokonano na podstawie interpretacji wyników pomiarów wykonanych w reprezentatywnych punktach sieci obserwacyjno-badawczej wód podziemnych państwowej służby geologicznej. Zastosowano następujące zasady metodyczne:

- Zagrożenie niżówką hydrogeologiczną określono na podstawie odniesienia prognozowanego położenia zwierciadła wód podziemnych (AG) do poziomu granicznego opisywanego zjawiska, tj. *stanu niskiego ostrzegawczego (SNO)*.
- *Wskaźnik zmian retencji (Rz)*, tj. poziomu rezerw odniesionych do najniższego zaobserwowanego w wieloleciu położenia zwierciadła wody (NNG), obliczono według zależności:

$$Rz = \frac{NNG - AG}{\frac{1}{2}(NNG - SNO)},$$

gdzie:

- | | | |
|---------|---|---|
| NNG [m] | - | najniższa roczna wartość głębokości zwierciadła wody z okresu wielolecia; |
| AG [m] | - | średnia miesięczna prognozowana wartość głębokości zwierciadła wody, obliczona dla miesiąca okresu objętego prognozą; |
| SNO [m] | - | stan niski ostrzegawczy (tj. głębokość położenia zwierciadła wody uzasadniająca wprowadzenie stanu zagrożenia hydrogeologicznego) określony jako poziom zwierciadła wody obliczany jako średnia z minimalnych rocznych stanów położenia zwierciadła wody charakteryzujących się wartościami niższymi od wielkości opisanej jako poziom średni niski z wielolecia. |

² <https://www.pgi.gov.pl/psh/zadania-psh/8886-zadania-psh-zasoby-wod-podziemnych.html>

³ Biuletyn Państwowej Służby Hydrologiczno-Meteorologicznej Nr 12(279). Instytut Meteorologii i Gospodarki Wodnej - Państwowy Instytut Badawczy; 2024. ISSN: 1730-6124;
Biuletyn Państwowej Służby Hydrologiczno-Meteorologicznej Nr 1 (281). Instytut Meteorologii i Gospodarki Wodnej - Państwowy Instytut Badawczy; 2025. ISSN: 1730-6124;
Biuletyn Państwowej Służby Hydrologiczno-Meteorologicznej Nr 2 (282). Instytut Meteorologii i Gospodarki Wodnej - Państwowy Instytut Badawczy; 2025. ISSN: 1730-6124.

Wskaźnik zmian retencji określa zmiany wielkości rezerw zasobów zmiennych pierwszego poziomu wodonośnego. Graniczna wartość opisywanego wskaźnika równa jedności przekłada się na poziom odniesienia przypadający na środek przedziału SNO-NNG, czyli stan zagrożenia dla użytkowania wód podziemnych, przy założeniu dalszej tendencji spadkowej położenia zwierciadła wody. Prognozy przedstawia się na podstawie analizy wieloletniej charakterystyki trendów położenia zwierciadła płytkich wód podziemnych oraz zmian sezonowych.

W niezaburzonym antropogenicznie środowisku wahania zwierciadła wody podziemnej charakteryzuje wieloletnia quasi-cykliczność. W długich okresach obserwacji – ponad 50-letnich, naturalne położenie zwierciadła nie wykazuje wyraźnego trendu. Jednak w krótszych przedziałach czasowych widoczne są znaczne zmiany, które oznaczają wzrost lub spadek odnawialnych zasobów wód podziemnych. Dla gospodarki wodnej wychwycenie tych okresowych tendencji ma kluczowe znaczenie w ocenie ryzyka związanego z możliwością wystąpienia ekstremalnych stanów wód podziemnych.

Prognoza zmian położenia zwierciadła wody dotyczy wód podziemnych pierwszego, nieizolowanego od powierzchni terenu poziomu wodonośnego o zwierciadle swobodnym, zasilanego bezpośrednio poprzez infiltrację opadów atmosferycznych i zazwyczaj silnie reagującego na zmienność warunków meteorologicznych i hydrologicznych oraz na antropopresję. Poziom ten ma bezpośrednie powiązania z kształtowaniem odpływu rzecznoego w przypadku, gdy stan wód powierzchniowych jest zależny od wód podziemnych.

Niepewność długookresowej prognozy sytuacji meteorologiczno-hydrologicznej powoduje, że prognozę zmian położenia zwierciadła wody podziemnej przedstawia się w zależności od wielkości zasilania wód podziemnych według **dwóch scenariuszy** przy założeniu, że:

- w prognozowanym okresie suma opadów atmosferycznych będzie wyższa od średniej wieloletniej i temperatury powietrza będą sprzyjały infiltracji wód opadowych do warstwy wodonośnej – **scenariusz A**;
- w prognozowanym okresie suma opadów atmosferycznych będzie niższa od średniej wieloletniej i/lub temperatury powietrza nie będą sprzyjały infiltracji wód opadowych do warstwy wodonośnej – **scenariusz B**. Scenariusz ten zakłada deficyt opadów atmosferycznych.

Prognozę zmian zasobów i zagrożeń wód podziemnych (część II i III opracowania) przedstawia się wyłącznie dla scenariusza B.

Część I

Prognoza zmian położenia zwierciadła wód podziemnych

Zgodnie ze scenariuszem B w okresie od 1 do 30 kwietnia 2025 r., według przeprowadzonych analiz, zwierciadło płytkich wód podziemnych na przeważającym obszarze kraju będzie układać się w strefie powyżej stanu niskiego ostrzegawczego (SNO), tj. w bezpiecznej strefie wahań. Tym niemniej na części obszarów w województwie podlaskim, warmińsko-mazurskim, mazowieckim, małopolskim oraz lubelskim, zachodniopomorskim, kujawsko-pomorskim, wielkopolskim, łódzkim, świętokrzyskim, śląskim i podkarpackim zwierciadło może układać się w strefie poniżej stanu niskiego ostrzegawczego. Lokalnie takie obniżenia mogą być obserwowane również w innych województwach, np. w dolnośląskim i opolskim.

W okresie objętym prognozą często na terenie kraju zwierciadło pierwszego poziomu wodonośnego może układać się w strefie stanów SNG-SNO, czyli powyżej wartości ostrzegawczej, a poniżej średniego stanu niskiego z wielolecia. Jednak tego typu sytuacje nie powinny powodować problemów w zaopatrzeniu w wodę.

Lokalizację punktów sieci obserwacyjno-badawczej wód podziemnych, dla których wykonano symulacje rozwoju sytuacji hydrogeologicznej przedstawia rysunek nr 1.



Objaśnienia:

- II/98/1 punkt sieci obserwacyjno-badawczej wód podziemnych i jego numer
- ~ granica województw

Regiony wodne

 Banówki	 Metuje
 Bugu	 Morawy
 Czadeczeki	 Narwi
 Czarnej Orawy	 Niemna
 Dniestru	 Noteci
 Dolnej Odry i Przymorza Zachodniego	 Orlicy
 Dolnej Wisły	 Warty
 Górnej Odry	 Łąby i Ostrożnicy (Upa)
 Górnej-Wschodniej Wisły	 Łyny i Węgorapy
 Górnej-Zachodniej Wisły	 Środkowej Odry
 Iżery	 Środkowej Wisły
 Małej Wisły	 Świeżej

Rys. 1. Lokalizacja punktów sieci obserwacyjno-badawczej wód podziemnych, dla których wykonano symulacje rozwoju sytuacji hydrogeologicznej

W tabeli nr 1 zestawiono wyniki prognozy w odniesieniu do położenia zwierciadła wody względem stanów charakterystycznych i oceny stopnia zagrożenia niżówką hydrogeologiczną w analizowanych punktach sieci obserwacyjno-badawczej PIG-PIB. Województwa wymieniono w porządku alfabetycznym. Przedstawione dane dotyczą wariantu prognozy opisanego jako scenariusz B.

Tab. 1. Prognozowane, uśrednione położenie zwierciadła wody względem stanów charakterystycznych (kolumna nr 4) i ocena stopnia zagrożenia niżówką hydrogeologiczną (kolumna nr 5) dla analizowanych punktów sieci obserwacyjno-badawczej PIG-PIB na okres: 1 – 30.04.2025 r. według scenariusza B

Województwo	Miejscowość	Nr punktu**	Położenie zw. wody	Stopień zagrożenia	Śr. prędkość spadku zw. wody w kwietniu [m/m-c]	p* [%]
1	2	3	4	5	6	7
dolnośląskie	Tłumaczów	II/1160/1	SNG-SNO	umiarkowany	0,15	85
dolnośląskie	Lasów	II/1164/1	SNG-SSG	niski	0,17	80
dolnośląskie	Zgorzelec	II/1165/1	SNG-SSG	niski	0,27	90
dolnośląskie	Kamień Górski	II/1203/1	powyżej SSG	bardzo niski	0,04	45
dolnośląskie	Posadowice	II/1228/1	powyżej SSG	bardzo niski	0,16	45
dolnośląskie	Szklarska Poręba	II/1762/1	SNG-SSG	niski	0,40	83
dolnośląskie	Różanka	II/1775/1	poniżej SNO	wysoki	0,08	82
dolnośląskie	Goliszów	<u>II/1856/1**</u>	powyżej SSG	bardzo niski	0,04	50
dolnośląskie	Piława Górna	II/601/1	powyżej SSG	bardzo niski	0,21	49
dolnośląskie	Białobrzegie	II/732/1	powyżej SSG	bardzo niski	0,17	69
dolnośląskie	Szczawno - Zdrój	II/744/1	SNG-SSG	niski	0,72	68
dolnośląskie	Stary Wielistaw	II/747/1	SNG-SSG	niski	0,34	71
dolnośląskie	Bogdaszowice	II/914/1	SNG-SNO	umiarkowany	0,02	57
kujawsko-pomorskie	Jagodowo	I/257/4	SNG-SNO	umiarkowany	0,05	39
kujawsko-pomorskie	Przedbórz	II/1271/1	SNG-SSG	niski	0,04	37
kujawsko-pomorskie	Kąkol	II/1583/1	SNG-SNO	umiarkowany	0,02	>95
kujawsko-pomorskie	Skrzynki	II/178/1	SNG-SNO	umiarkowany	0,11	86
kujawsko-pomorskie	Wierzchy	II/183/1	SNG-SNO	umiarkowany	0,03	31
kujawsko-pomorskie	Solec Kujawski	II/185/1	SNG-SSG	niski	0,07	80
kujawsko-pomorskie	Mokry Las	II/1875/1	powyżej SSG	bardzo niski	0,02	75
kujawsko-pomorskie	Szubin	<u>II/527/1**</u>	poniżej SNO	wysoki	0,09	82
kujawsko-pomorskie	Rozwarzyn	<u>II/906/1**</u>	powyżej SSG	bardzo niski	0,08	94
lubelskie	Sadurki	II/327/1	SNG-SSG	niski	0,09	61
lubelskie	Gietczew - Doły	II/331/1	SNG-SNO	umiarkowany	0,18	39
lubelskie	Koszarsko	II/334/1	poniżej SNO	wysoki	0,39	52
lubelskie	Woźuczyn	II/338/1	powyżej SSG	bardzo niski	0,06	36
lubelskie	Poizdów	<u>II/509/1**</u>	SNG-SSG	niski	0,02	54
lubelskie	Siemień	II/510/1	poniżej SNO	wysoki	0,15	62
lubelskie	Wola Uhruska	II/514/1	poniżej SNO	wysoki	0,31	56
lubelskie	Żmudź	II/516/1	SNG-SNO	umiarkowany	0,23	34
lubelskie	Łabunie	II/519/1	poniżej SNO	wysoki	0,11	53
lubelskie	Babin	II/561/1	SNG-SNO	umiarkowany	0,05	58

Województwo	Miejscowość	Nr punktu**	Położenie zw. wody	Stopień zagrożenia	Śr. prędkość spadku zw. wody w kwietniu [m/m-c]	p* [%]
1	2	3	4	5	6	7
lubelskie	Borki	<u>II/572/1**</u>	poniżej SNO	wysoki	0,07	68
lubelskie	Manie	II/575/1	poniżej SNO	wysoki	0,10	78
lubelskie	Międzyłes	II/576/1	SNG-SNO	umiarkowany	0,34	74
lubelskie	Podedwórze	II/578/1	SNG-SNO	umiarkowany	0,16	71
lubelskie	Bronowice	II/582/1	poniżej SNO	wysoki	0,10	58
lubuskie	Rudnica	I/650/2	powyżej SSG	bardzo niski	0,08	78
lubuskie	Wysokie	<u>I/910/2**</u>	SNG-SSG	niski	0,13	84
lubuskie	Dobrzyń	II/1139/1	SNG-SNO	umiarkowany	0,23	89
lubuskie	Późna	II/1155/3	SNG-SSG	niski	0,18	89
lubuskie	łowa	II/1191/1	powyżej SSG	bardzo niski	0,14	91
lubuskie	Czartów	II/1539/1	powyżej SSG	bardzo niski	0,06	64
lubuskie	Szprotawa	II/1860/1	powyżej SSG	bardzo niski	0,07	30
lubuskie	Nowe Żabno	II/736/2	SNG-SSG	niski	0,10	88
łódzkie	Grodzisk	II/1075/1	SNG-SSG	niski	0,04	72
łódzkie	Marcelów	II/1288/2	powyżej SSG	bardzo niski	0,05	80
łódzkie	Jadwinówka	<u>II/1348/1**</u>	poniżej SNO	wysoki	0,07	30
łódzkie	Przedbórz	II/1377/1	poniżej SNO	wysoki	0,10	84
łódzkie	Sulejów	II/1391/1	poniżej SNO	wysoki	0,06	67
łódzkie	Przerąb	II/1400/1	SNG-SSG	niski	0,14	84
łódzkie	Wrzeszczewice	II/1731/1	powyżej SSG	bardzo niski	0,14	64
łódzkie	Saków	II/1867/1	powyżej SSG	bardzo niski	0,10	>95
łódzkie	Kamieńsk	II/281/1	powyżej SSG	bardzo niski	0,12	57
łódzkie	Masłowice	<u>II/316/1**</u>	SNG-SSG	niski	0,12	72
łódzkie	Lubocz	II/319/1	SNG-SSG	niski	0,11	73
małopolskie	Jabłonka	I/847/1	SNG-SNO	umiarkowany	0,09	50
małopolskie	Otfinów	II/1657/1	powyżej SSG	bardzo niski	0,02	42
małopolskie	Bielcza	II/1658/1	powyżej SSG	bardzo niski	0,15	69
małopolskie	Zakliczyn	<u>II/1678/1**</u>	poniżej SNO	wysoki	0,17	45
małopolskie	Broszkowice	II/1715/1	SNG-SSG	niski	0,09	72
małopolskie	Facimiech	II/750/1	SNG-SSG	niski	0,41	56
małopolskie	Kraków	<u>II/771/1**</u>	powyżej SSG	bardzo niski	0,02	65
małopolskie	Lubasz	II/832/1	powyżej SSG	bardzo niski	0,16	65
małopolskie	Pcim	II/838/1	poniżej SNO	wysoki	0,17	68
małopolskie	Piwniczna - Zdrój	II/844/1	poniżej SNO	wysoki	0,17	50
małopolskie	Bukowno	II/938/1	powyżej SSG	bardzo niski	0,17	54
mazowieckie	Brwinów	I/211/4	SNG-SNO	umiarkowany	0,13	65
mazowieckie	Granica	I/960/2	SNG-SSG	niski	0,10	74
mazowieckie	Wymiśle Polskie	II/1072/1	SNG-SSG	niski	0,04	67
mazowieckie	Wincentów	II/1073/1	SNG-SNO	umiarkowany	0,10	47
mazowieckie	Kamion	II/1076/1	SNG-SNO	umiarkowany	0,05	41
mazowieckie	Grędzice	II/1260/1	poniżej SNO	wysoki	0,02	27
mazowieckie	łża	II/1380/1	SNG-SSG	niski	0,10	63
mazowieckie	Kazimierki	II/1385/1	SNG-SSG	niski	0,08	63
mazowieckie	Białobrzegi	II/1386/1	SNG-SNO	umiarkowany	0,11	71

Województwo	Miejscowość	Nr punktu**	Położenie zw. wody	Stopień zagrożenia	Śr. prędkość spadku zw. wody w kwietniu [m/m-c]	p* [%]
1	2	3	4	5	6	7
mazowieckie	Kozienice	II/1388/1	poniżej SNO	wysoki	0,07	58
mazowieckie	Ciepielów	II/1398/1	SNG-SSG	niski	0,08	68
mazowieckie	Łęg Starościński	II/1441/1	SNG-SNO	umiarkowany	0,11	89
mazowieckie	Sypniewo	II/1446/1	poniżej SNO	wysoki	0,07	61
mazowieckie	Parciaki - Stacja	II/1448/1	poniżej SNO	wysoki	0,07	61
mazowieckie	Płock	II/172/1	poniżej SNO	wysoki	0,06	49
mazowieckie	Nagoszewo	II/1722/1	SNG-SNO	umiarkowany	0,06	67
mazowieckie	Kaliska	<u>II/1723/1**</u>	poniżej SNO	wysoki	0,16	58
mazowieckie	Pętkowo Wielkie	II/1726/1	SNG-SNO	umiarkowany	0,12	75
mazowieckie	Chrzczanka Włociańska	II/1781/1	SNG-SSG	niski	0,11	>95
mazowieckie	Sulęcín Szlachecki	II/1782/1	SNG-SNO	umiarkowany	0,05	67
mazowieckie	Łysów	II/20/1	SNG-SNO	umiarkowany	0,04	36
mazowieckie	Łaskarzew	II/3/1	SNG-SSG	niski	0,23	58
mazowieckie	Aleksandrów	II/368/1	powyżej SSG	bardzo niski	0,05	56
mazowieckie	Lipsko	II/369/1	powyżej SSG	bardzo niski	0,03	36
mazowieckie	Goździków	II/392/1	poniżej SNO	wysoki	0,21	53
mazowieckie	Guzów	II/396/1	SNG-SSG	niski	0,37	66
mazowieckie	Kresy	II/497/1	SNG-SNO	umiarkowany	0,03	39
mazowieckie	Seredzice	II/557/1	powyżej SSG	bardzo niski	0,03	54
mazowieckie	Sierpc	II/79/1	SNG-SNO	umiarkowany	0,08	78
mazowieckie	Nowe Iganie	II/964/2	poniżej SNO	wysoki	0,03	55
mazowieckie	Wólka Radzyńska	II/975/1	SNG-SSG	niski	0,13	80
mazowieckie	Okuniew	II/977/1	poniżej SNO	wysoki	0,12	89
mazowieckie	Płońsk	<u>II/98/1**</u>	powyżej SSG	bardzo niski	0,10	82
mazowieckie	Gościszka	II/998/1	powyżej SSG	bardzo niski	0,03	75
opolskie	Wrzoski	I/911/5	SNG-SSG	niski	0,13	78
opolskie	Stara Kuźnia	I/925/4	SNG-SSG	niski	0,08	57
opolskie	Gadzowice	II/1208/1	powyżej SSG	bardzo niski	0,07	80
opolskie	Bliszczycze	II/1209/1	powyżej SSG	bardzo niski	0,06	45
opolskie	Borki Wielkie	II/1345/1	SNG-SSG	niski	0,12	75
opolskie	Zawadzkie	II/1733/1	poniżej SNO	wysoki	0,08	67
opolskie	Łącznik	<u>II/633/1**</u>	powyżej SSG	bardzo niski	0,07	62
opolskie	Chróścice	II/916/1	SNG-SNO	umiarkowany	0,07	71
opolskie	Karłowiczki	II/918/1	powyżej SSG	bardzo niski	0,05	41
podkarpackie	Turza	II/1089/1	poniżej SNO	wysoki	0,06	50
podkarpackie	Miękisz Nowy	<u>II/1532/1**</u>	poniżej SNO	wysoki	0,14	73
podkarpackie	Jasienica Rosielna	II/1665/1	SNG-SNO	umiarkowany	0,09	75
podkarpackie	Mielec	<u>II/491/1**</u>	powyżej SSG	bardzo niski	0,06	51
podkarpackie	Werchrała	II/551/1	SNG-SNO	umiarkowany	0,36	68
podkarpackie	Wierzawice	II/553/1	powyżej SSG	bardzo niski	0,04	66
podkarpackie	Pysznicza	II/559/1	poniżej SNO	wysoki	0,19	76
podkarpackie	Dębiny	II/599/2	poniżej SNO	wysoki	0,56	86
podkarpackie	Strzyżów	II/800/1	SNG-SNO	umiarkowany	0,08	21
podkarpackie	Lesko	II/815/1	SNG-SSG	niski	0,15	54

Województwo	Miejscowość	Nr punktu**	Położenie zw. wody	Stopień zagrożenia	Śr. prędkość spadku zw. wody w kwietniu [m/m-c]	p* [%]
1	2	3	4	5	6	7
podkarpackie	Rabe	II/821/1	powyżej SSG	bardzo niski	0,06	59
podlaskie	Sejny Kolonia	II/1245/1	poniżej SNO	wysoki	0,06	78
podlaskie	Boksze Stare	<u>II/1249/1**</u>	poniżej SNO	wysoki	0,07	80
podlaskie	Lipsk	II/1445/1	poniżej SNO	wysoki	0,03	29
podlaskie	Morgowniki	II/1447/1	poniżej SNO	wysoki	0,40	94
podlaskie	Liza Stara	II/1810/2	SNG-SNO	umiarkowany	0,05	73
podlaskie	Gugny	II/1818/2	poniżej SNO	wysoki	0,10	71
podlaskie	Kozioł	II/231/1	poniżej SNO	wysoki	0,05	64
podlaskie	Sobolewo	II/862/1	SNG-SSG	niski	0,01	44
podlaskie	Wólka Terechowska	II/866/1	poniżej SNO	wysoki	0,02	36
podlaskie	Waliby	II/967/1	poniżej SNO	wysoki	0,02	40
pomorskie	Gdańsk	II/1569/2	SNG-SSG	niski	0,09	78
pomorskie	Maszewko	II/1574/1	SNG-SNO	umiarkowany	0,09	79
pomorskie	Borucino	<u>II/1750/1**</u>	powyżej SSG	bardzo niski	0,02	82
pomorskie	Okragła Łąka	II/205/1	SNG-SNO	umiarkowany	0,12	73
pomorskie	Wąglikowice	II/222/1	SNG-SSG	niski	0,03	44
pomorskie	Rzeczénica	II/532/1	SNG-SNO	umiarkowany	0,13	59
pomorskie	Łysomiczki	II/544/1	SNG-SNO	umiarkowany	0,03	78
śląskie	Podlesie	I/470/1	SNG-SSG	niski	0,47	68
śląskie	Morusy	I/476/2	SNG-SNO	umiarkowany	0,24	40
śląskie	Krzanowice	II/1211/1	powyżej SSG	bardzo niski	0,04	70
śląskie	Jaskrów	II/131/1	SNG-SSG	niski	0,19	67
śląskie	Częstochowa	II/1346/1	powyżej SSG	bardzo niski	0,03	50
śląskie	Ciasna	II/1351/1	SNG-SSG	niski	0,18	79
śląskie	Zawada Pilicka	II/1401/1	SNG-SSG	niski	0,16	68
śląskie	Tychy	II/1612/1	SNG-SSG	niski	0,19	54
śląskie	Nędza	II/1632/1	SNG-SSG	niski	0,18	50
śląskie	Gołysz	II/1710/1	SNG-SSG	niski	0,05	50
śląskie	Mazańcowice	II/1711/1	SNG-SSG	niski	0,13	67
śląskie	Piasek	II/1712/1	powyżej SSG	bardzo niski	0,12	78
śląskie	Konieczpol	II/294/1	SNG-SSG	niski	0,12	58
śląskie	Goleniowy	II/296/1	SNG-SSG	niski	0,20	81
śląskie	Żarnowiec	II/487/1	SNG-SSG	niski	0,21	67
śląskie	Wieprz	<u>II/779/1**</u>	poniżej SNO	wysoki	0,19	71
śląskie	Tuczna	II/937/1	powyżej SSG	bardzo niski	0,11	52
śląskie	Żyglin	<u>II/941/1**</u>	SNG-SSG	niski	0,42	64
śląskie	Żeliszewice	II/953/1	poniżej SNO	wysoki	0,26	82
świętokrzyskie	Białowieża	I/336/5	SNG-SNO	umiarkowany	0,11	47
świętokrzyskie	Nałęczów	<u>I/390/4**</u>	poniżej SNO	wysoki	0,11	70
świętokrzyskie	Kaplica	I/474/2	SNG-SSG	niski	0,04	71
świętokrzyskie	Bodzentyn	II/1376/1	poniżej SNO	wysoki	0,23	65
świętokrzyskie	Ostrowiec Świętokrzyski	II/1382/1	poniżej SNO	wysoki	0,24	70
świętokrzyskie	Januszewice	II/1390/1	SNG-SSG	niski	0,28	78
świętokrzyskie	Suków	II/372/1	SNG-SNO	umiarkowany	0,33	72

Województwo	Miejscowość	Nr punktu**	Położenie zw. wody	Stopień zagrożenia	Śr. prędkość spadku zw. wody w kwietniu [m/m-c]	p* [%]
1	2	3	4	5	6	7
świętokrzyskie	Kurozwęki	<u>II/373/1**</u>	powyżej SSG	bardzo niski	0,08	57
świętokrzyskie	Chmielnik	II/377/1	powyżej SSG	bardzo niski	0,03	59
świętokrzyskie	Michałów	II/379/1	poniżej SNO	wysoki	0,22	66
świętokrzyskie	Wolica	II/382/1	SNG-SSG	niski	0,29	71
świętokrzyskie	Skarbka	II/492/1	SNG-SNO	umiarkowany	0,23	72
świętokrzyskie	Bocheniec	II/499/1	SNG-SNO	umiarkowany	0,12	64
świętokrzyskie	Ściegna	II/875/1	poniżej SNO	wysoki	0,70	56
świętokrzyskie	Kielce	II/876/1	SNG-SSG	niski	0,13	36
warmińsko-mazurskie	Doba	I/537/4	SNG-SSG	niski	0,04	69
warmińsko-mazurskie	Mikołajki	II/1435/1	SNG-SNO	umiarkowany	0,01	31
warmińsko-mazurskie	Muszaki	<u>II/1438/1**</u>	poniżej SNO	wysoki	0,02	26
warmińsko-mazurskie	Zieleniec	II/1440/1	poniżej SNO	wysoki	0,04	42
warmińsko-mazurskie	Pisanica	II/1451/1	SNG-SNO	umiarkowany	0,21	89
warmińsko-mazurskie	Kośmidry	II/1454/1	poniżej SNO	wysoki	0,07	71
warmińsko-mazurskie	Karczowiska Górne	<u>II/1565/1**</u>	powyżej SSG	bardzo niski	0,19	89
warmińsko-mazurskie	Łoskajmy	II/1578/1	SNG-SNO	umiarkowany	0,02	39
warmińsko-mazurskie	Samborowo	II/217/1	SNG-SSG	niski	0,13	72
warmińsko-mazurskie	Bartoszyce	II/244/1	SNG-SNO	umiarkowany	0,04	50
warmińsko-mazurskie	Kobuły	II/250/1	poniżej SNO	wysoki	0,03	39
warmińsko-mazurskie	Buczyniec	II/256/1	powyżej SSG	bardzo niski	0,11	55
wielkopolskie	Czachurki	<u>I/428/4**</u>	poniżej SNO	wysoki	0,03	56
wielkopolskie	Sepno	<u>I/920/4**</u>	powyżej SSG	bardzo niski	0,13	81
wielkopolskie	Łuszczewo	II/1273/1	SNG-SSG	niski	0,09	95
wielkopolskie	Sowia Góra	II/1324/1	powyżej SSG	bardzo niski	0,00	22
wielkopolskie	Brudzewek	II/1426/1	SNG-SNO	umiarkowany	0,03	35
wielkopolskie	Konin	II/27/3	powyżej SSG	bardzo niski	0,14	84
wielkopolskie	Obrzycko	II/404/1	SNG-SNO	umiarkowany	0,17	67
wielkopolskie	Leszno	II/743/1	powyżej SSG	bardzo niski	0,06	56
wielkopolskie	Chachalnia	II/749/1	powyżej SSG	bardzo niski	0,02	42
wielkopolskie	Koło	II/902/1	SNG-SNO	umiarkowany	0,12	79
zachodniopomorskie	Świnoujście	I/1090/1	powyżej SSG	bardzo niski	0,15	95
zachodniopomorskie	Gądko	II/1032/1	SNG-SNO	umiarkowany	0,03	61
zachodniopomorskie	Wicewo	II/1041/1	powyżej SSG	bardzo niski	0,11	92
zachodniopomorskie	Międzyzdroje	II/1098/1	poniżej SNO	wysoki	0,07	80
zachodniopomorskie	Krzywnica	II/1101/1	SNG-SSG	niski	0,09	95
zachodniopomorskie	Koszewko	II/1103/1	SNG-SNO	umiarkowany	0,04	41
zachodniopomorskie	Ognica	II/1105/1	powyżej SSG	bardzo niski	0,15	95
zachodniopomorskie	Okole	II/1344/1	SNG-SNO	umiarkowany	0,02	67
zachodniopomorskie	Szczecin	II/1702/1	powyżej SSG	bardzo niski	0,08	86
zachodniopomorskie	Krępsko	<u>II/1759/1**</u>	powyżej SSG	bardzo niski	0,11	92
zachodniopomorskie	Imno	II/1800/1	powyżej SSG	bardzo niski	0,07	91
zachodniopomorskie	Biały Zdrój	II/1801/1	powyżej SSG	bardzo niski	0,02	64
zachodniopomorskie	Polanów	II/415/1	poniżej SNO	wysoki	0,05	67
zachodniopomorskie	Turowo	<u>II/417/1**</u>	poniżej SNO	wysoki	0,19	21

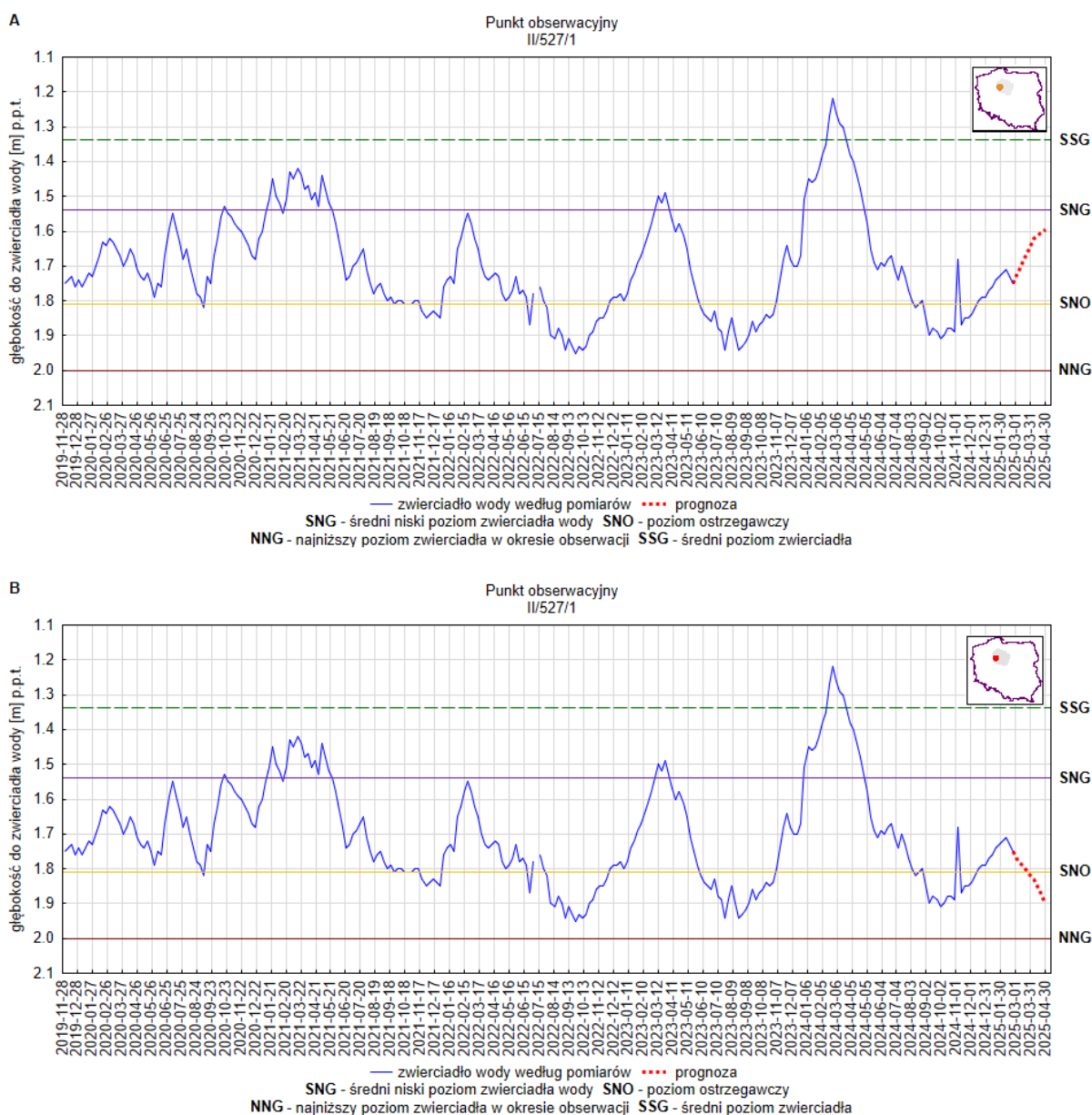
Województwo	Miejscowość	Nr punktu**	Położenie zw. wody	Stopień zagrożenia	Śr. prędkość spadku zw. wody w kwietniu [m/m-c]	p* [%]
1	2	3	4	5	6	7
zachodniopomorskie	Czaplinek	II/418/1	SNG-SSG	niski	0,03	74
zachodniopomorskie	Rzędziny	II/469/1	powyżej SSG	bardzo niski	0,08	76

* obliczone prawdopodobieństwo trendu spadkowego położenia zwierciadła zgodnego ze scenariuszem B w prognozowanym okresie

** numery punktów, dla których w dalszej części opisu prognozy zamieszczono wykresy położenia zwierciadła wody

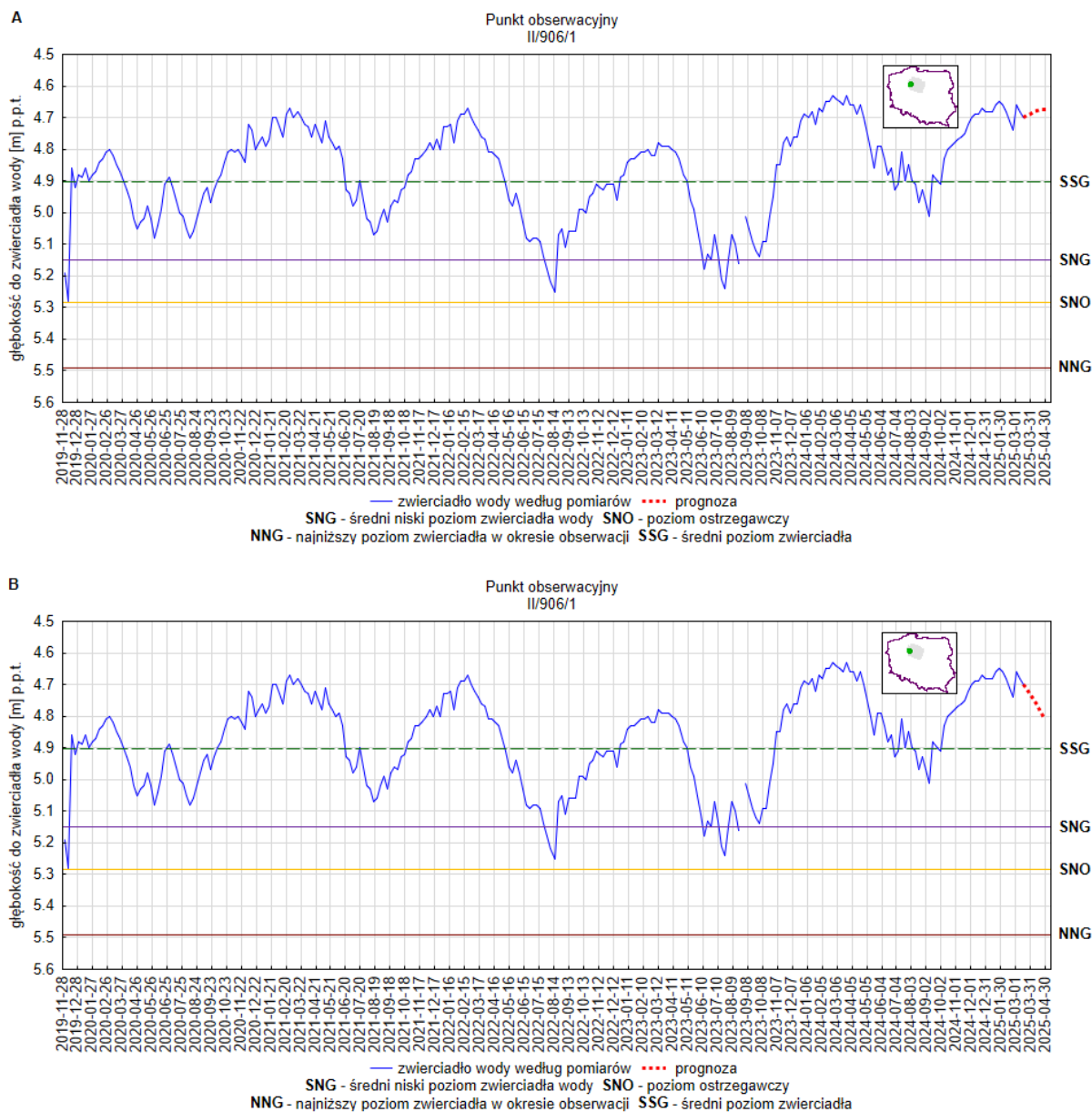
Dla każdego województwa dla wybranych stacji hydrogeologicznych przedstawiono ilustrację graficzną w postaci wykresów z wynikami symulacji rozwoju sytuacji hydrogeologicznej według scenariuszy: A i B (Rys. 2-28). Zwraca się uwagę, że zamieszczone wykresy obejmują jedynie fragment całego okresu obserwacji w danych punktach monitoringowych i przedstawiają zapis ograniczony do pomiarów z ostatnich sześciu lat.

Województwo kujawsko-pomorskie



Rys. 3. Prognoza dotycząca stanu wód o zwierciadle swobodnym (gruntowych) na okres 01.04.2025 –30.04.2025 r. – stacja hydrogeologiczna nr II/527/1 w miejscowości Szubin (woj. kujawsko-pomorskie). **A** – prognoza przy założeniu scenariusza A; **B** – prognoza przy założeniu scenariusza B

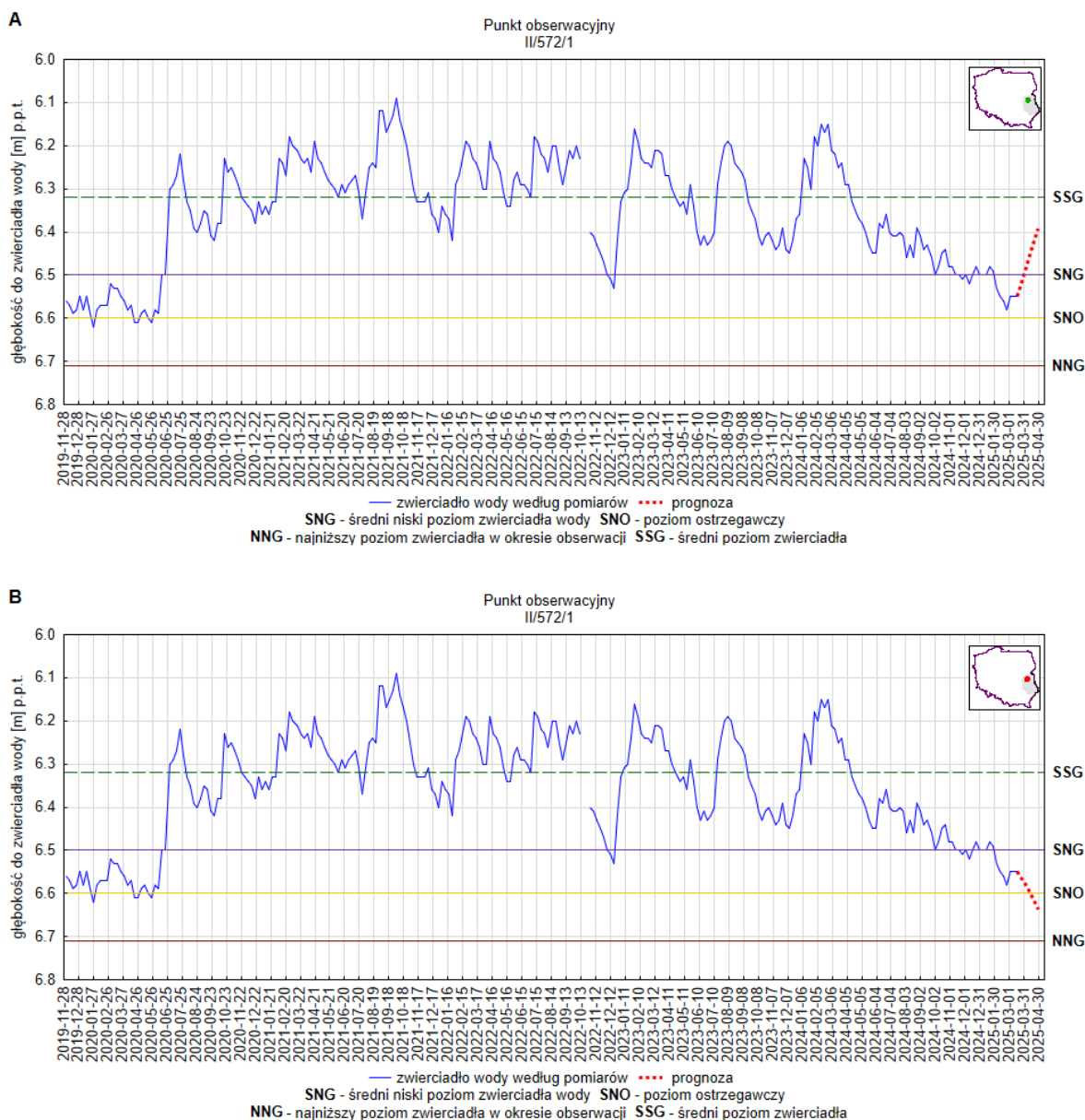
W punkcie obserwacyjnym nr II/527/1 w miejscowości Szubin w województwie kujawsko-pomorskim prognozuje się wystąpienie niżówki hydrogeologicznej (scenariusz B; rys. 3).



Rys. 4. Prognoza dotycząca stanu wód o zwierciadle swobodnym (gruntowych) na okres 01.04.2025 –30.04.2025 r. – stacja hydrogeologiczna nr II/906/1 w miejscowości Rozwarzyn (woj. kujawsko-pomorskie). **A** – prognoza przy założeniu scenariusza A; **B** – prognoza przy założeniu scenariusza B

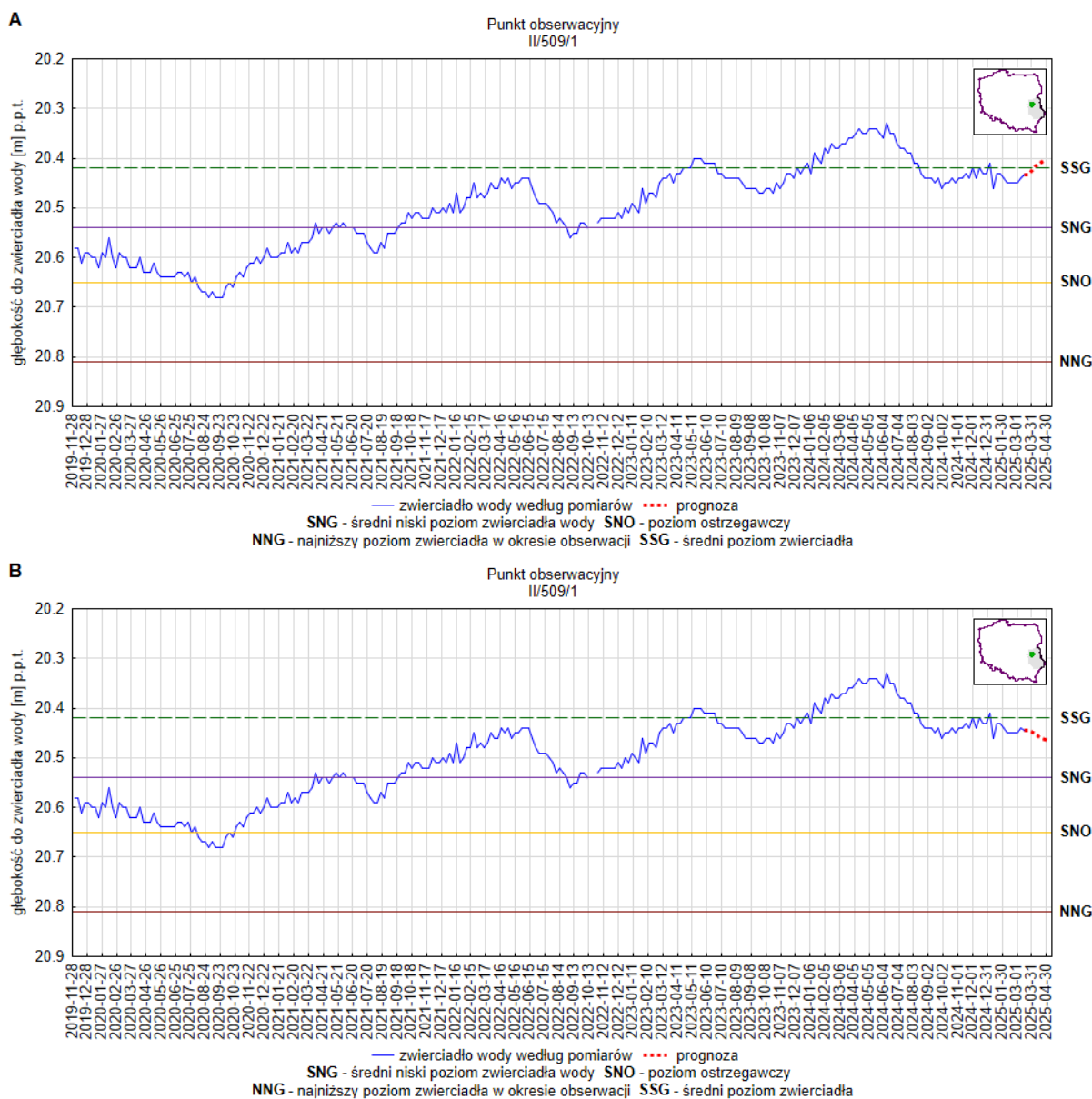
W punkcie obserwacyjnym nr II/906/1 w miejscowości Rozwarzyn w województwie kujawsko-pomorskim nie prognozuje się wystąpienia niżówki hydrogeologicznej (scenariusz A i B; rys. 4).

Województwo lubelskie



Rys. 5. Prognoza dotycząca stanu wód o zwierciadle swobodnym (gruntowych) na okres 01.04.2025 –30.04.2025 r. – stacja hydrogeologiczna nr II/572/1 w miejscowości Borki (woj. lubelskie).
A – prognoza przy założeniu scenariusza A; B – prognoza przy założeniu scenariusza B

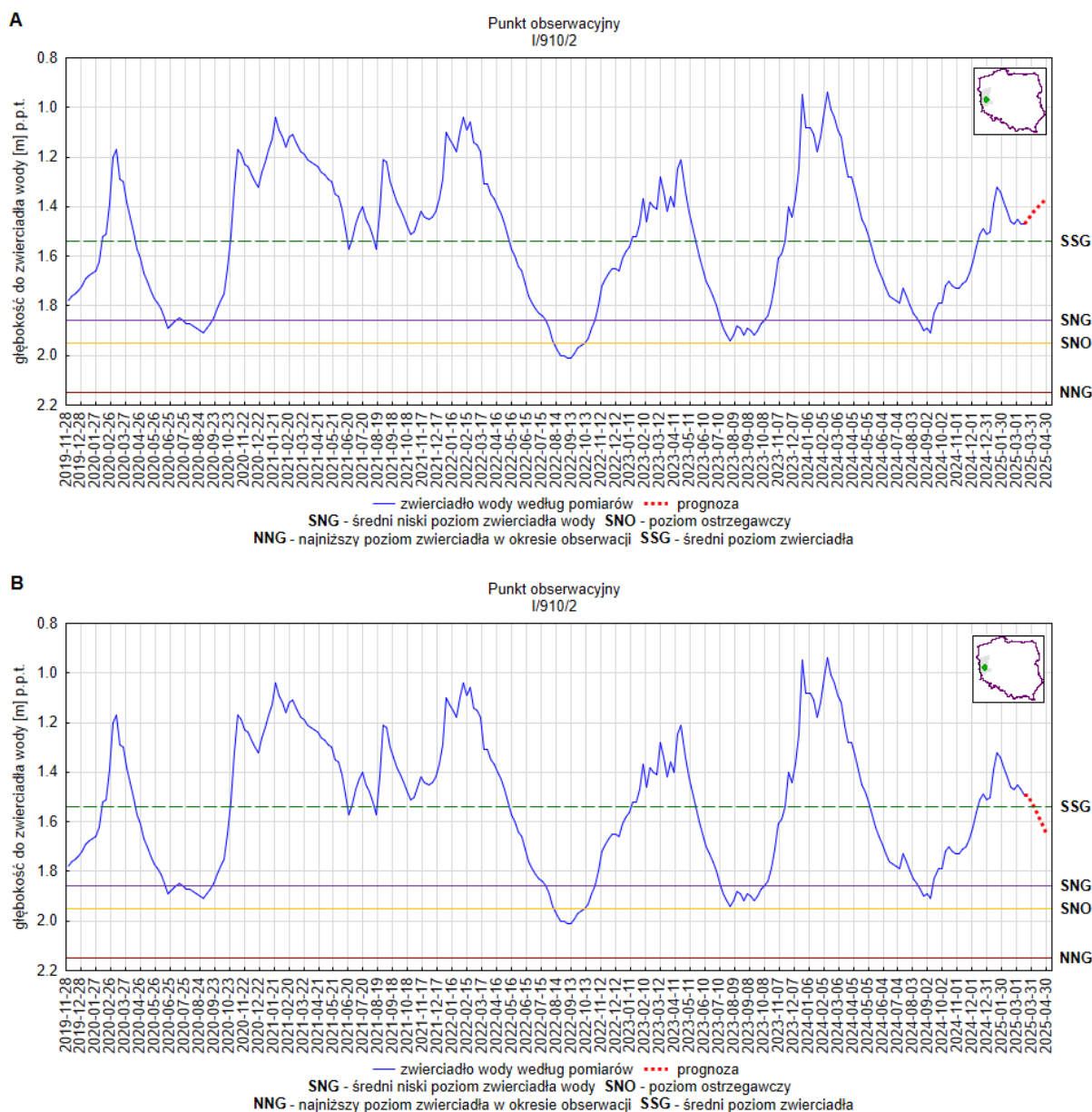
W punkcie obserwacyjnym nr II/572/1 w miejscowości Borki w województwie lubelskim prognozuje się wystąpienie niżówki hydrogeologicznej (scenariusz B; rys. 5).



Rys. 6. Prognoza dotycząca stanu wód o zwierciadle swobodnym (gruntowych) na okres 01.04.2025 –30.04.2025 r. – stacja hydrogeologiczna nr II/509/1 w miejscowości Poizdów (woj. lubelskie). **A** – prognoza przy założeniu scenariusza A; **B** – prognoza przy założeniu scenariusza B

W punkcie obserwacyjnym nr II/509/1 w miejscowości Poizdów w województwie lubelskim nie prognozuje się wystąpienia niżówki hydrogeologicznej (scenariusz A i B; rys. 6).

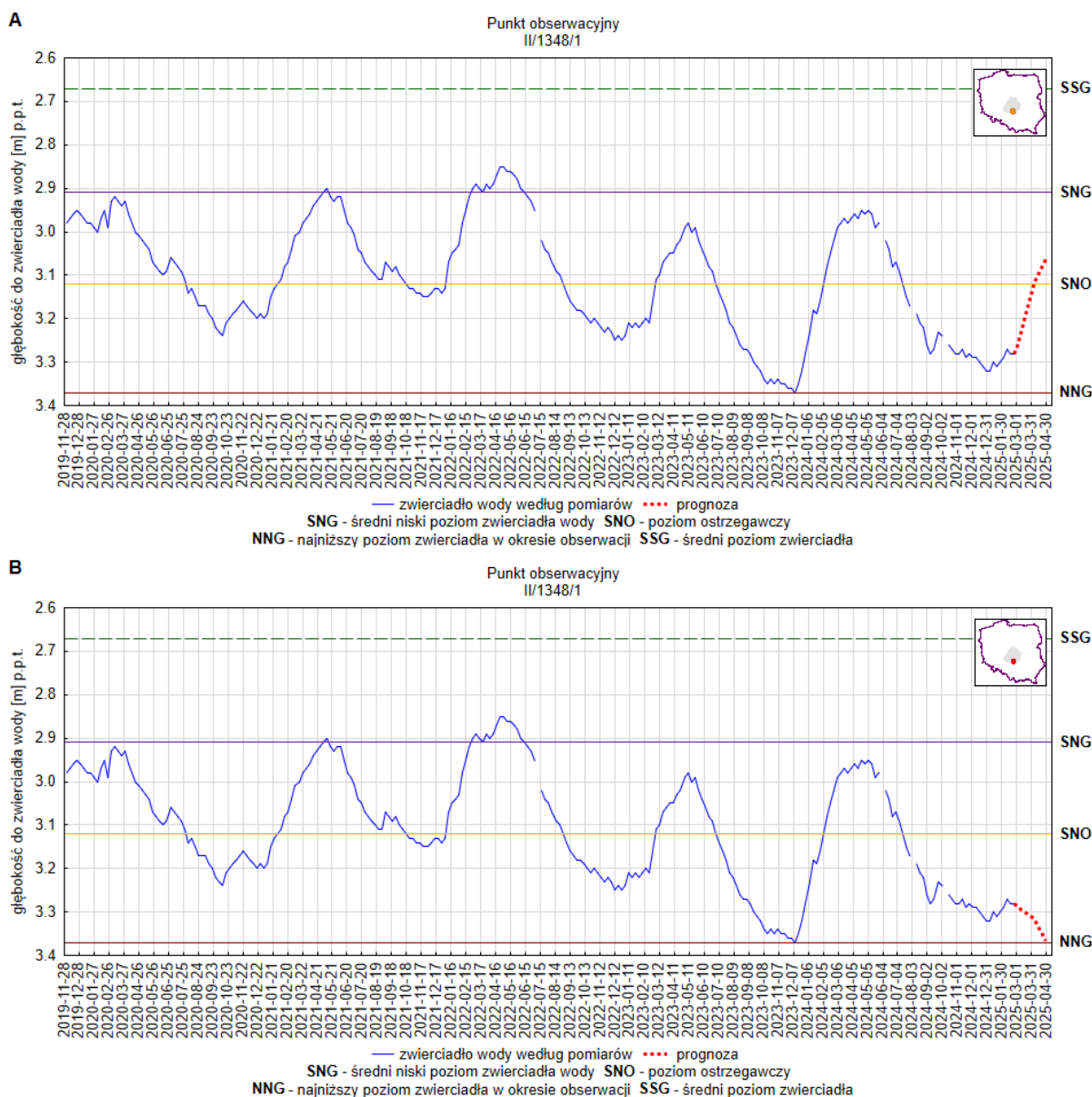
Województwo lubuskie



Rys. 7. Prognoza dotycząca stanu wód o zwierciadle swobodnym (gruntowych) na okres 01.04.2025 – 30.04.2025 r. – stacja hydrogeologiczna nr I/910/2 w miejscowości Wysokie (woj. lubuskie)
A – prognoza przy założeniu scenariusza A; **B** – prognoza przy założeniu scenariusza B

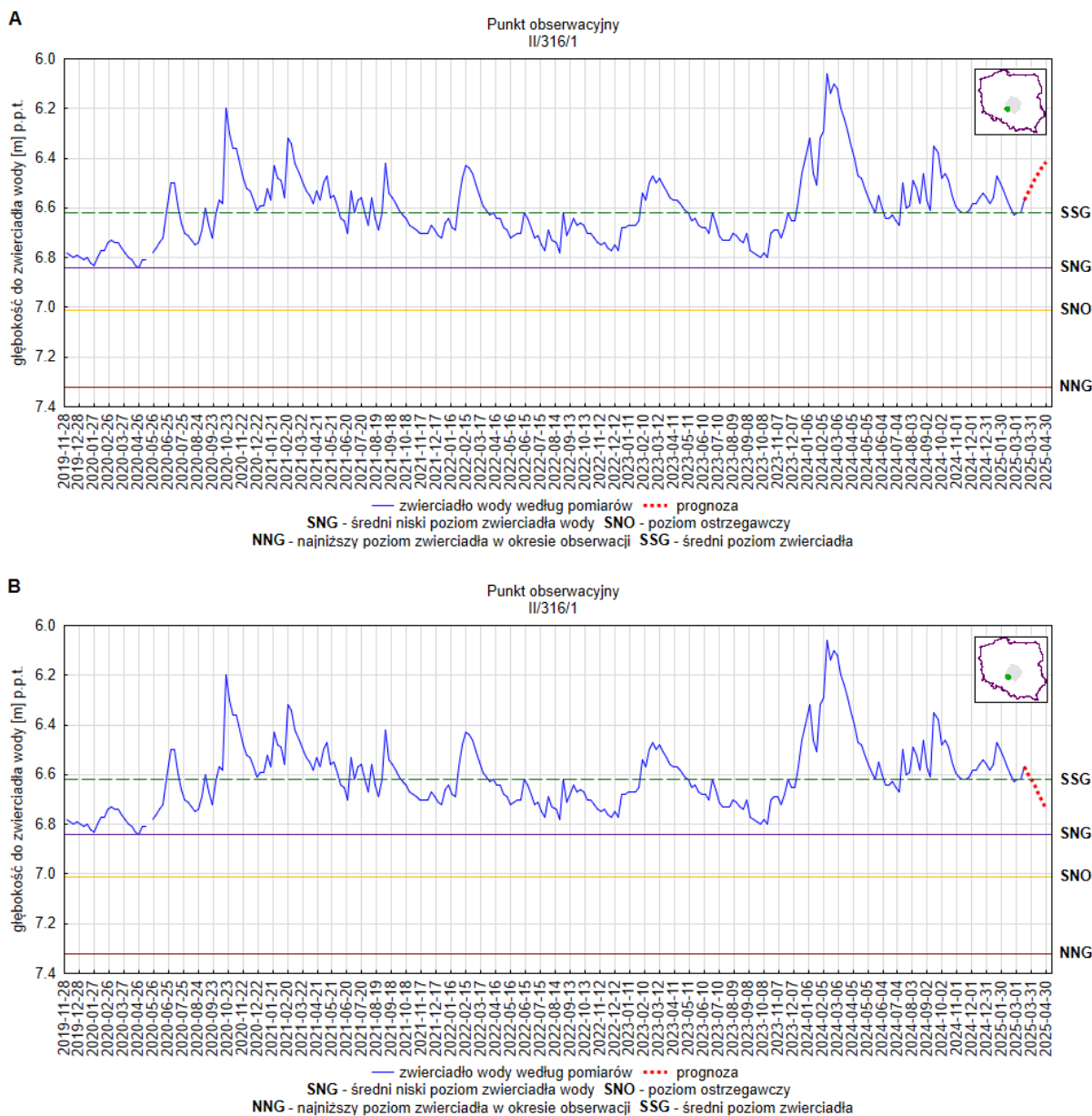
W punkcie obserwacyjnym nr I/910/2 w miejscowości Wysokie w województwie lubuskim nie prognozuje się wystąpienia niżówki hydrogeologicznej (scenariusz A i B; rys. 7).

Województwo łódzkie



Rys. 8. Prognoza dotycząca stanu wód o zwierciadle swobodnym (gruntowych) na okres 01.04.2025 –30.04.2025 r. – stacja hydrogeologiczna nr II/1348/1 w miejscowości Jadwinówka (woj. łódzkie).
A – prognoza przy założeniu scenariusza A; **B** – prognoza przy założeniu scenariusza B

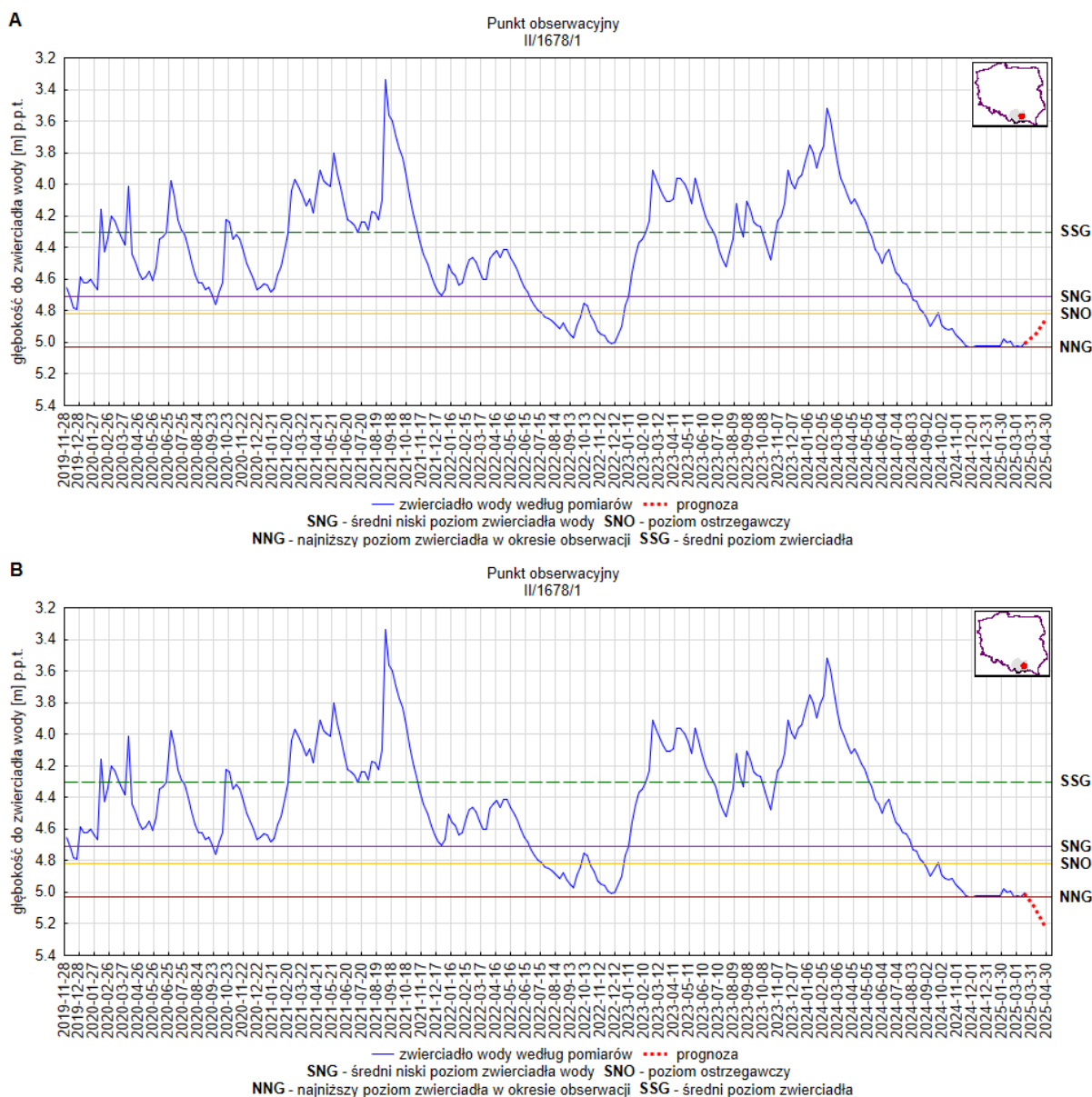
W punkcie obserwacyjnym nr II/1348/1 w miejscowości Jadwinówka w województwie łódzkim prognozuje się kontynuację niżówki hydrogeologicznej (scenariusz B; rys. 8).



Rys. 9. Prognoza dotycząca stanu wód o zwierciadle swobodnym (gruntowych) na okres 01.04.2025 –30.04.2025 r. – stacja hydrogeologiczna nr II/316/1 w miejscowości Masłowice (woj. łódzkie).
A – prognoza przy założeniu scenariusza A; B – prognoza przy założeniu scenariusza B

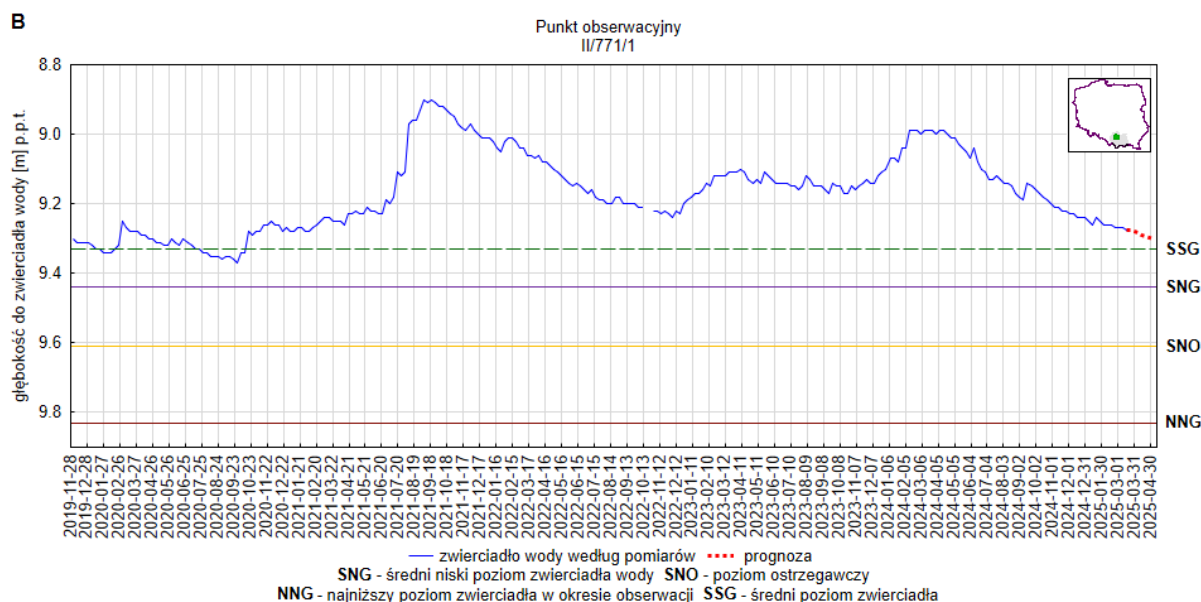
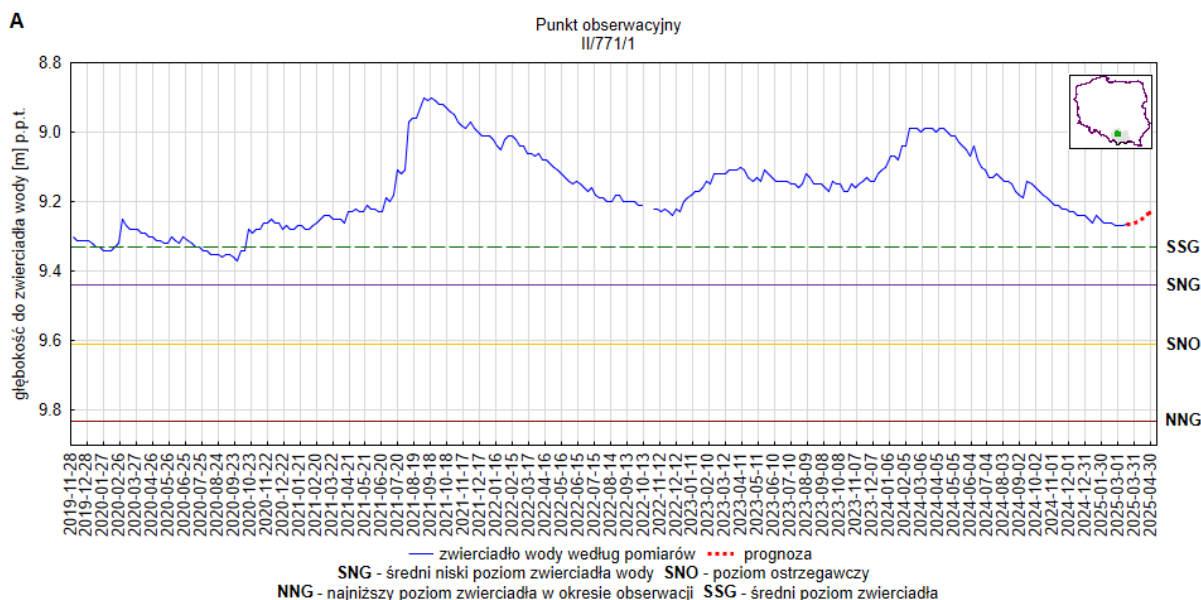
W punkcie obserwacyjnym nr II/316/1 w miejscowości Masłowice w województwie łódzkim nie prognozuje się wystąpienia niżówki hydrogeologicznej (scenariusz A i B; rys. 9).

Województwo małopolskie



Rys. 10. Prognoza dotycząca stanu wód o zwierciadle swobodnym (gruntowych) na okres 01.04.2025 –30.04.2025 r. – stacja hydrogeologiczna nr II/1678/1 w miejscowości Zakliczyn (woj. małopolskie).
A – prognoza przy założeniu scenariusza A; **B** – prognoza przy założeniu scenariusza B

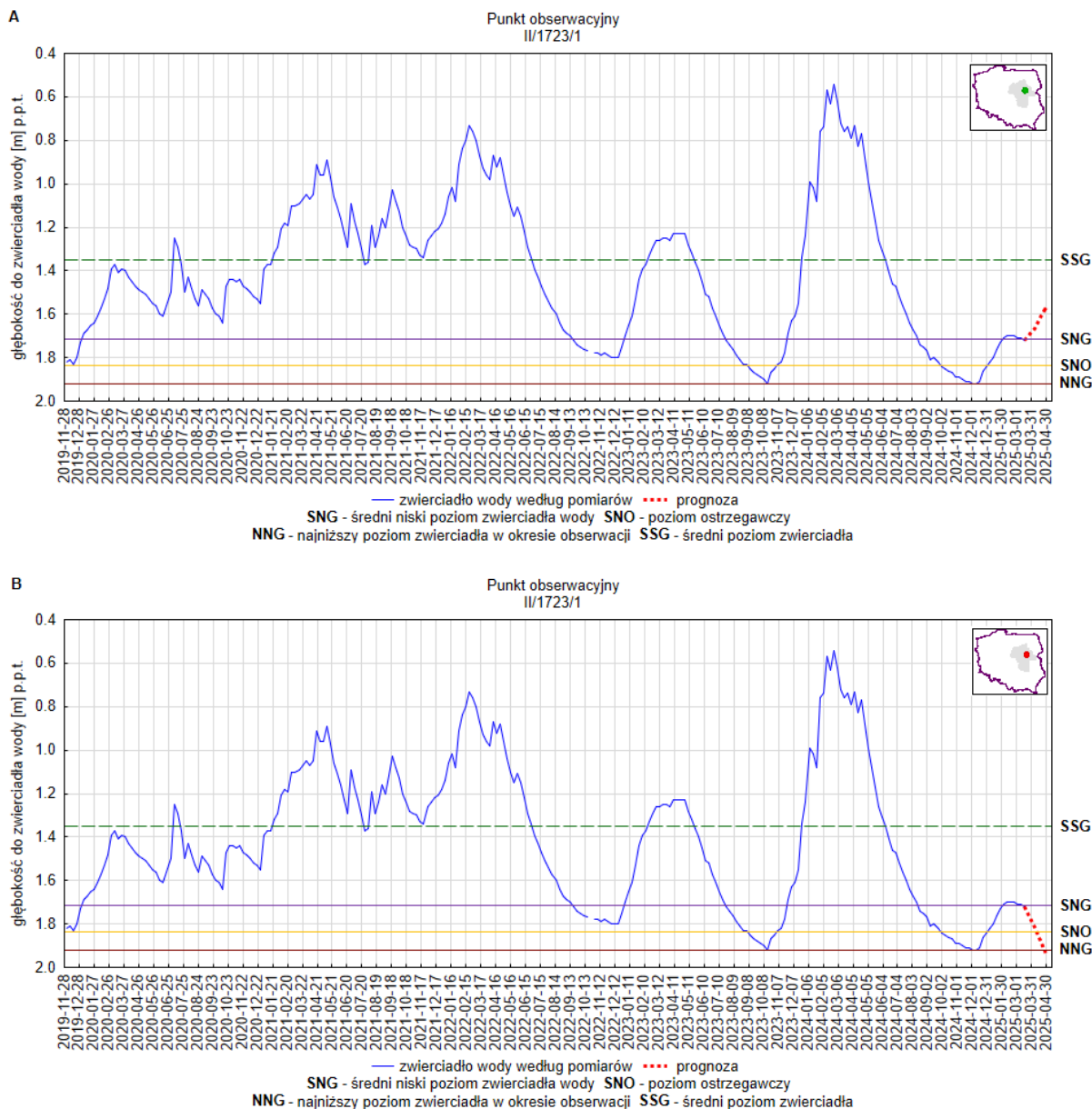
W punkcie obserwacyjnym nr II/1678/1 w miejscowości Zakliczyn w województwie małopolskim prognozuje się kontynuację niżówki hydrogeologicznej (scenariusz A i B; rys. 10).



Rys. 11. Prognoza dotycząca stanu wód o zwierciadle swobodnym (gruntowych) na okres 01.04.2025 –30.04.2025 r. – stacja hydrogeologiczna nr II/771/1 w miejscowości Kraków (woj. małopolskie).
A – prognoza przy założeniu scenariusza A; B – prognoza przy założeniu scenariusza B

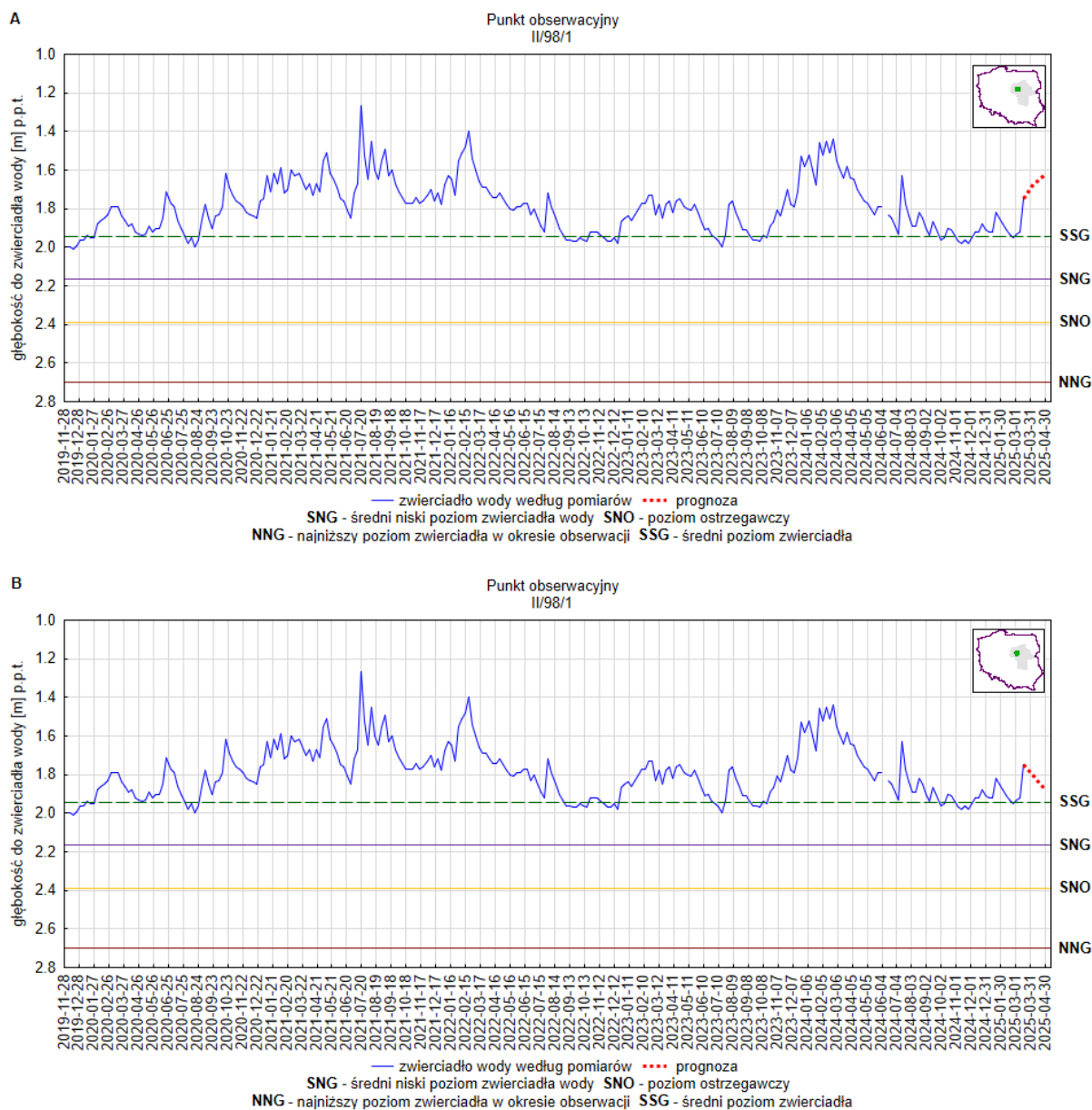
W punkcie obserwacyjnym nr II/771/1 w miejscowości Kraków w województwie małopolskim nie prognozuje się wystąpienia niżówki hydrogeologicznej (scenariusz A i B; rys. 11).

Województwo mazowieckie



Rys. 12. Prognoza dotycząca stanu wód o zwierciadle swobodnym (gruntowych) na okres 01.04.2025 –30.04.2025 r. – stacja hydrogeologiczna nr II/1723/1 w miejscowości Kaliska (woj. mazowieckie).
A – prognoza przy założeniu scenariusza A; B – prognoza przy założeniu scenariusza B

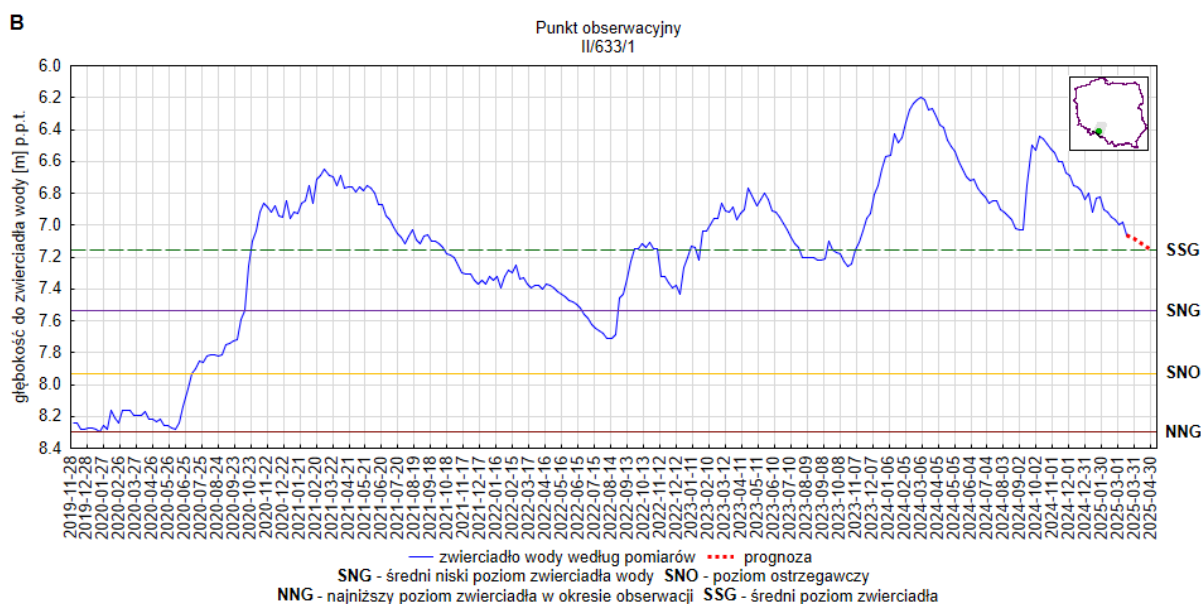
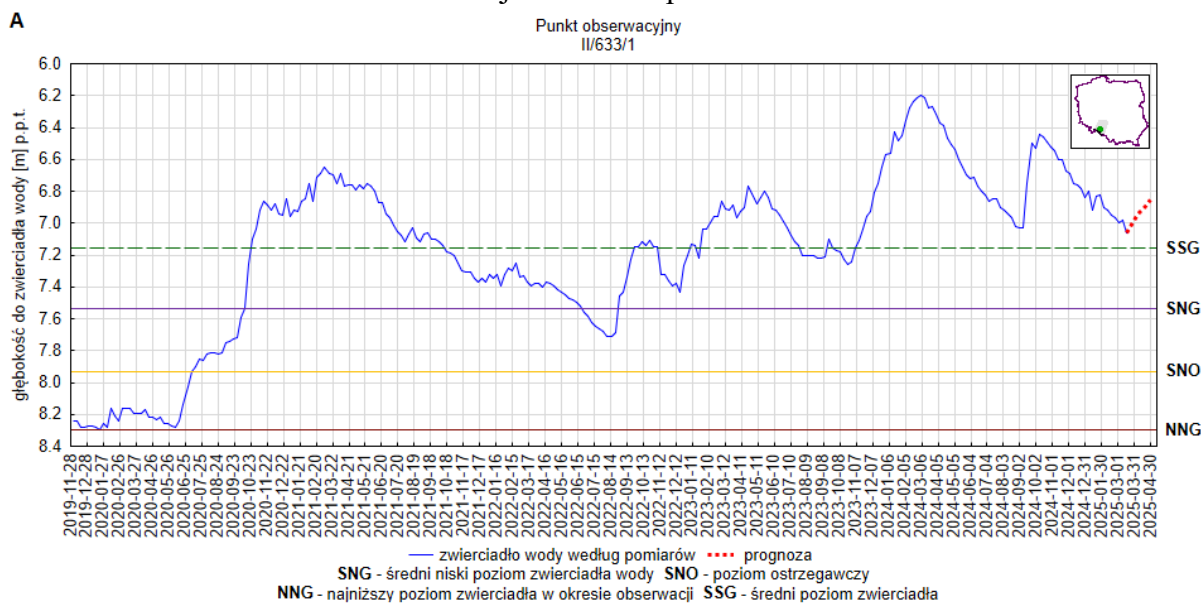
W punkcie obserwacyjnym nr II/1723/1 w miejscowości Kaliska w województwie mazowieckim prognozuje się wystąpienie niżówki hydrogeologicznej (scenariusz B; rys. 12).



Rys. 13. Prognoza dotycząca stanu wód o zwierciadle swobodnym (gruntowych) na okres 01.04.2025 –30.04.2025 r. – stacja hydrogeologiczna nr II/98/1 w miejscowości Płońsk (woj. mazowieckie). **A** – prognoza przy założeniu scenariusza A; **B** – prognoza przy założeniu scenariusza B

W punkcie obserwacyjnym nr II/98/1 w miejscowości Płońsk w województwie mazowieckim nie prognozuje się wystąpienia niżówki hydrogeologicznej (scenariusz A i B; rys. 13).

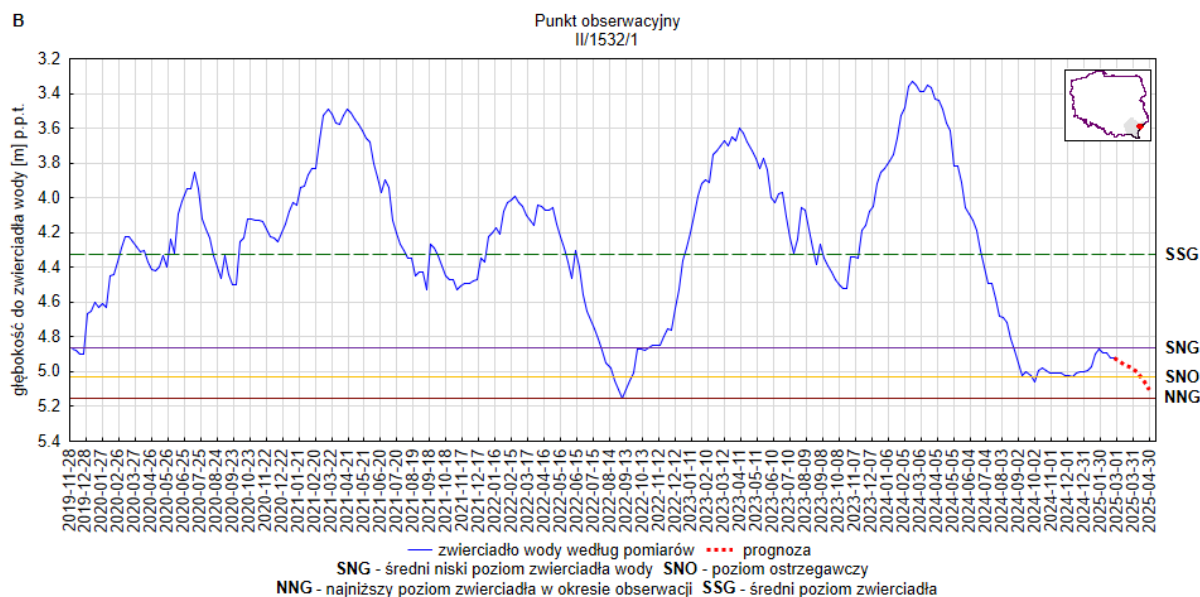
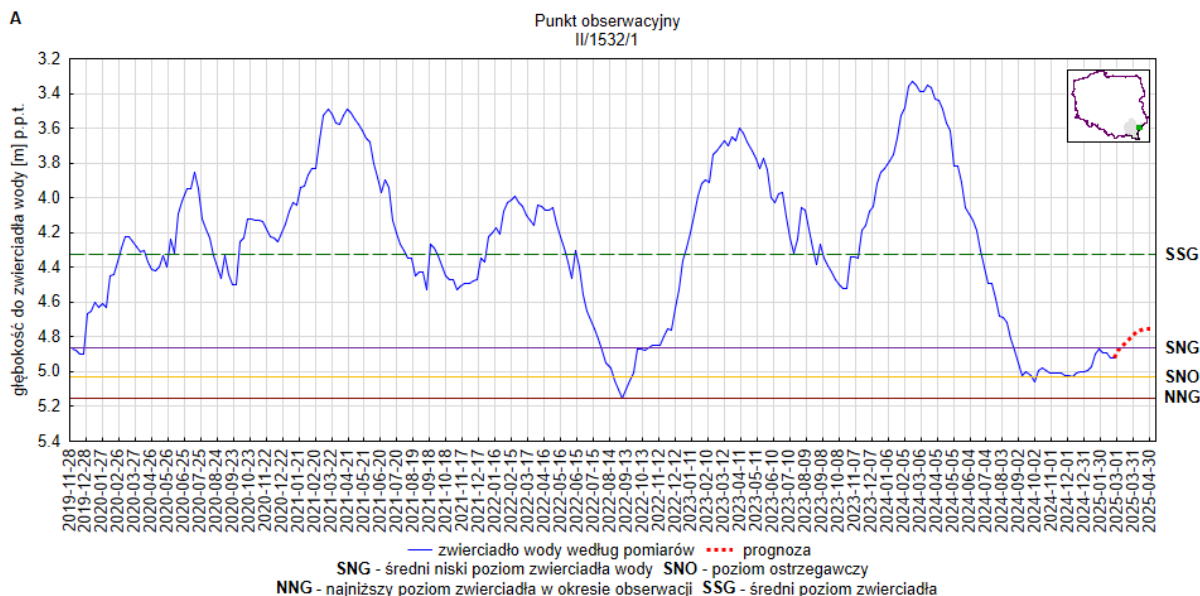
Województwo opolskie



Rys. 14. Prognoza dotycząca stanu wód o zwierciadle swobodnym (gruntowych) na okres 01.04.2025 –30.04.2025 r. – stacja hydrogeologiczna nr II/633/1 w miejscowości Łącznik (woj. opolskie).
A – prognoza przy założeniu scenariusza A; B – prognoza przy założeniu scenariusza B

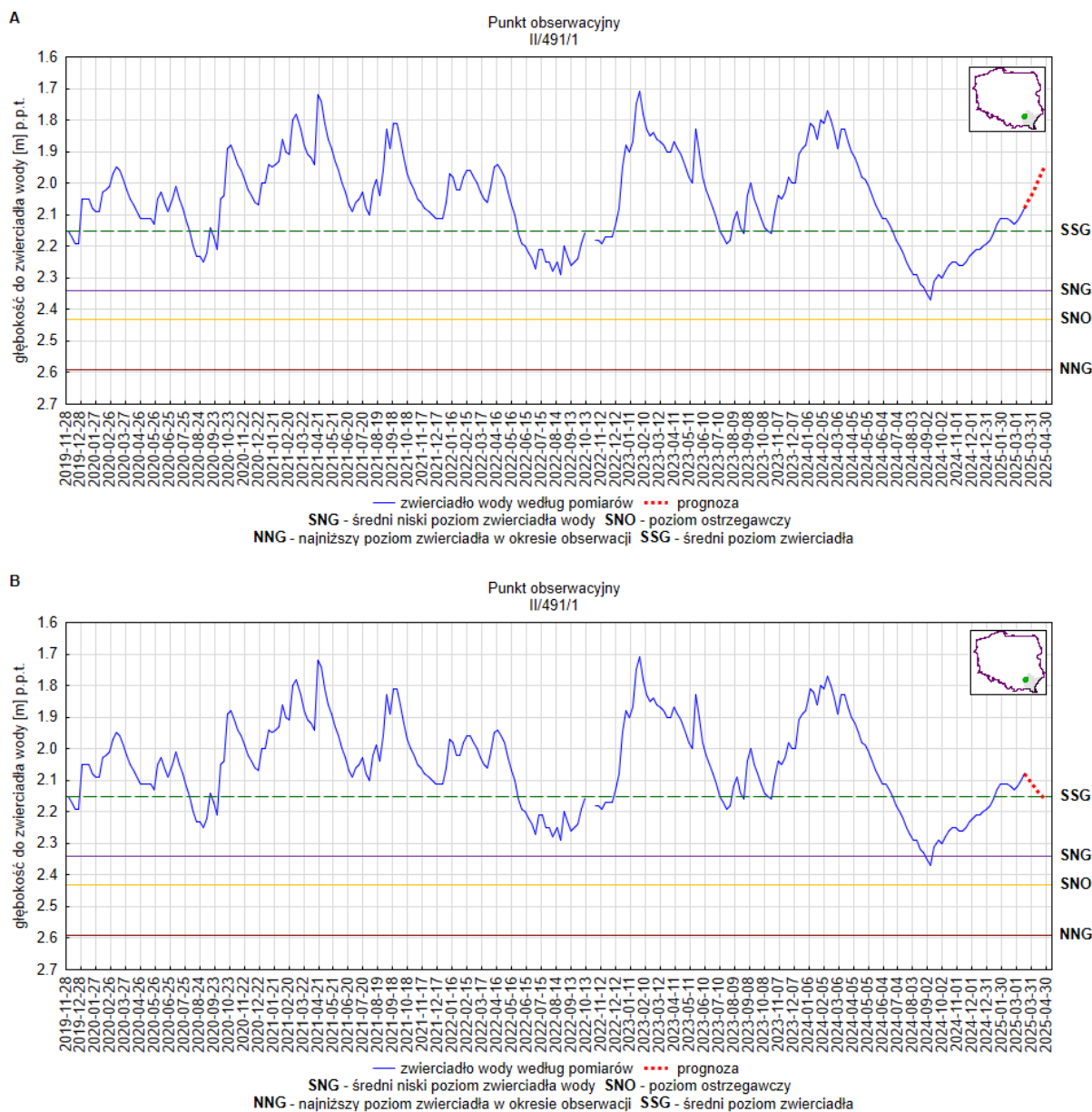
W punkcie obserwacyjnym II/633/1 w miejscowości Łącznik w województwie opolskim nie prognozuje się wystąpienia niżówki hydrogeologicznej (scenariusz A i B; rys. 14).

Województwo podkarpackie



Rys. 15. Prognoza dotycząca stanu wód o zwierciadle swobodnym (gruntowych) na okres 01.04.2025 –30.04.2025 r. – stacja hydrogeologiczna nr II/1532/1 w miejscowości Mięksiz Nowy (woj. podkarpackie). **A** – prognoza przy założeniu scenariusza A; **B** – prognoza przy założeniu scenariusza B

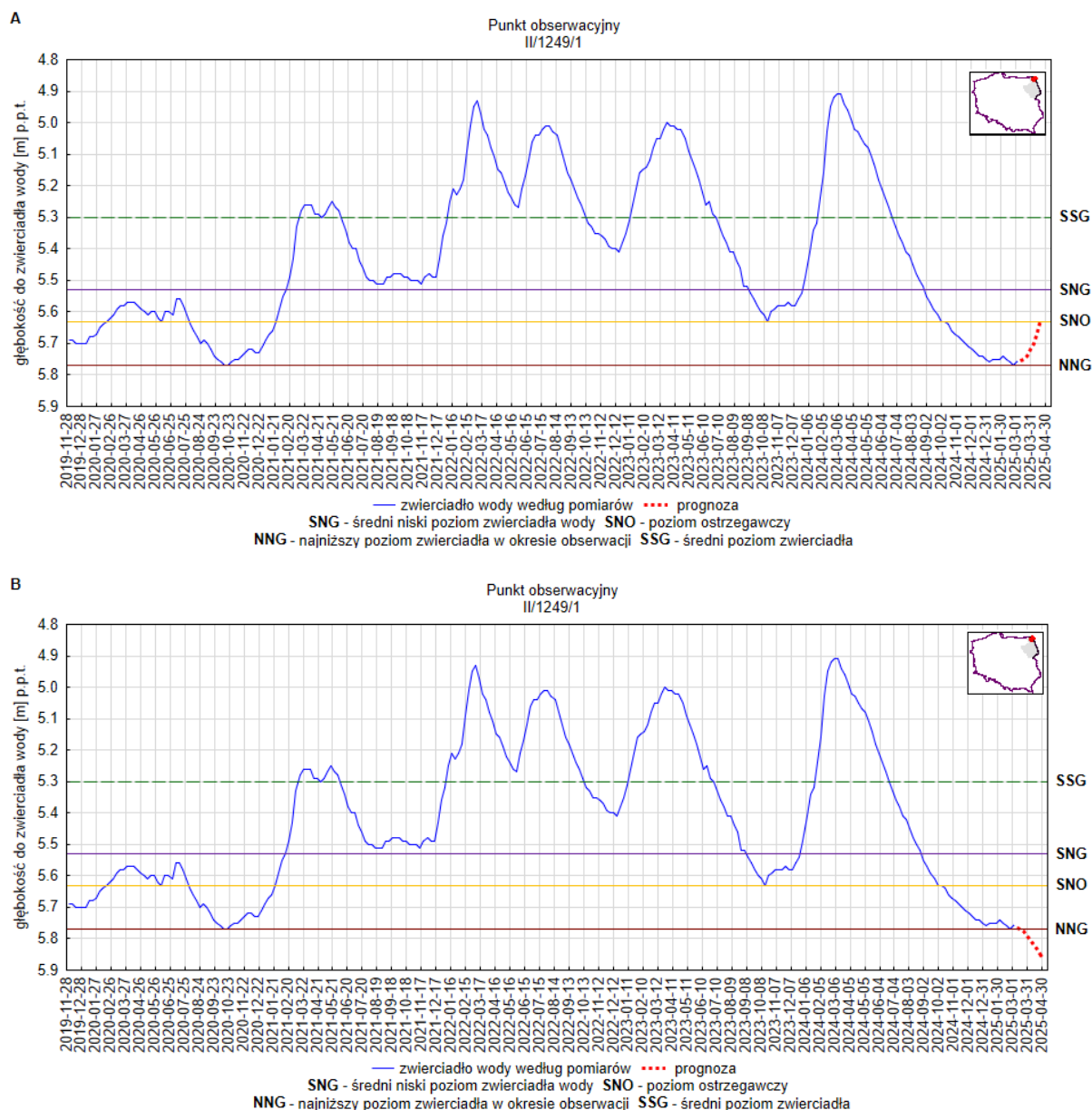
W punkcie obserwacyjnym nr II/1532/1 w miejscowości Mięksiz Nowy w województwie podkarpackim prognozuje się wystąpienie niżówki hydrogeologicznej (scenariusz B; rys. 15).



Rys. 16. Prognoza dotycząca stanu wód o zwierciadle swobodnym (gruntowych) na okres 01.04.2025 –30.04.2025 r. – stacja hydrogeologiczna nr II/491/1 w miejscowości Mielec (woj. podkarpackie). **A** – prognoza przy założeniu scenariusza A; **B** – prognoza przy założeniu scenariusza B

W punkcie obserwacyjnym nr II/491/1 w miejscowości Mielec w województwie podkarpackim nie prognozuje się wystąpienia niżówki hydrogeologicznej (scenariusz A i B; rys. 16).

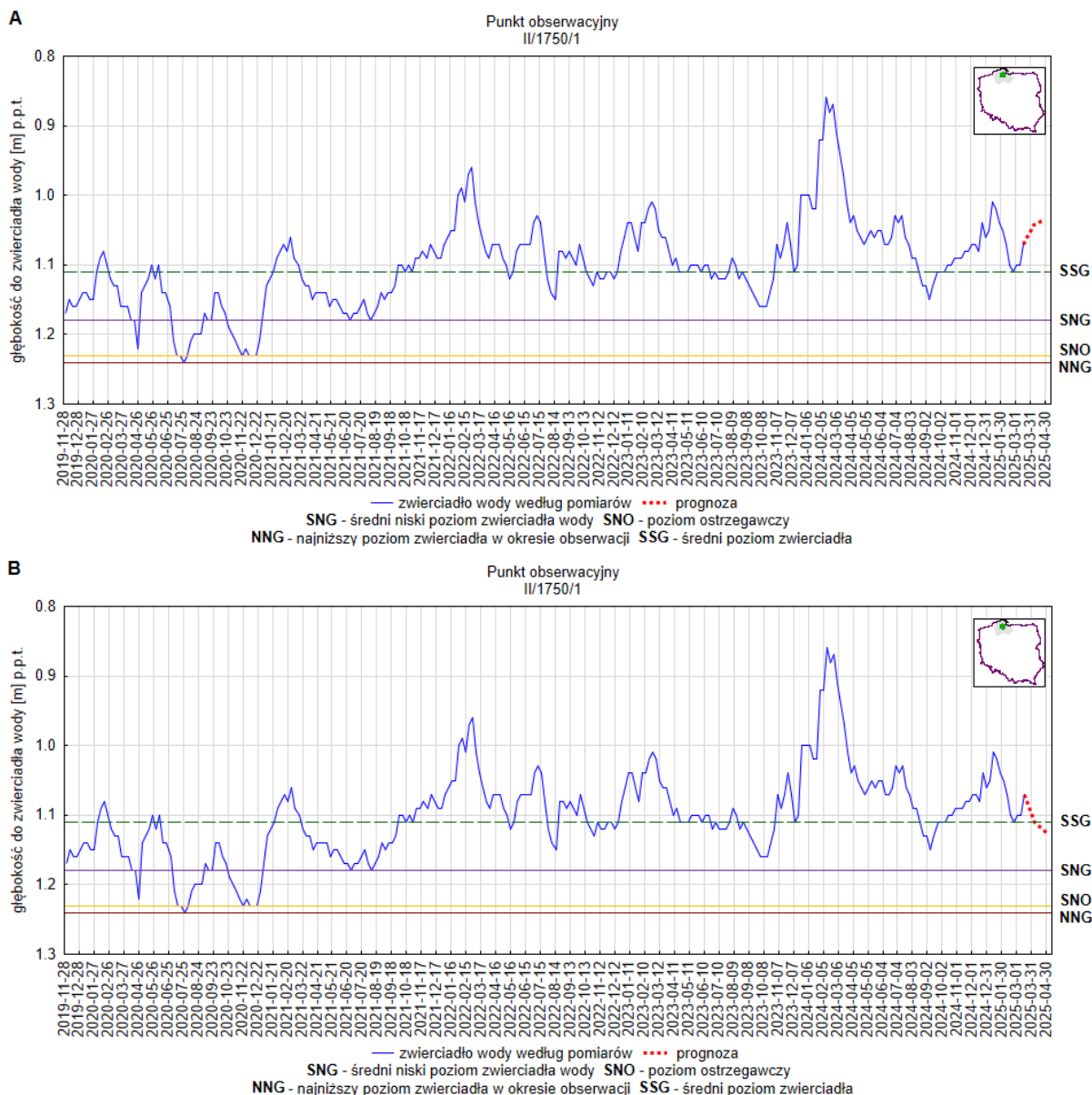
Województwo podlaskie



Rys. 17. Prognoza dotycząca stanu wód o zwierciadle swobodnym (gruntowych) na okres 01.04.2025 –30.04.2025 r.- stacja hydrogeologiczna nr II/1249/1 w miejscowości Boksze Stare (woj. podlaskie).
A – prognoza przy założeniu scenariusza A; B – prognoza przy założeniu scenariusza B

W punkcie obserwacyjnym II/1249/1 w miejscowości Boksze Stare w województwie podlaskim prognozuje się kontynuację niżówki hydrogeologicznej (scenariusz A i B; rys. 17).

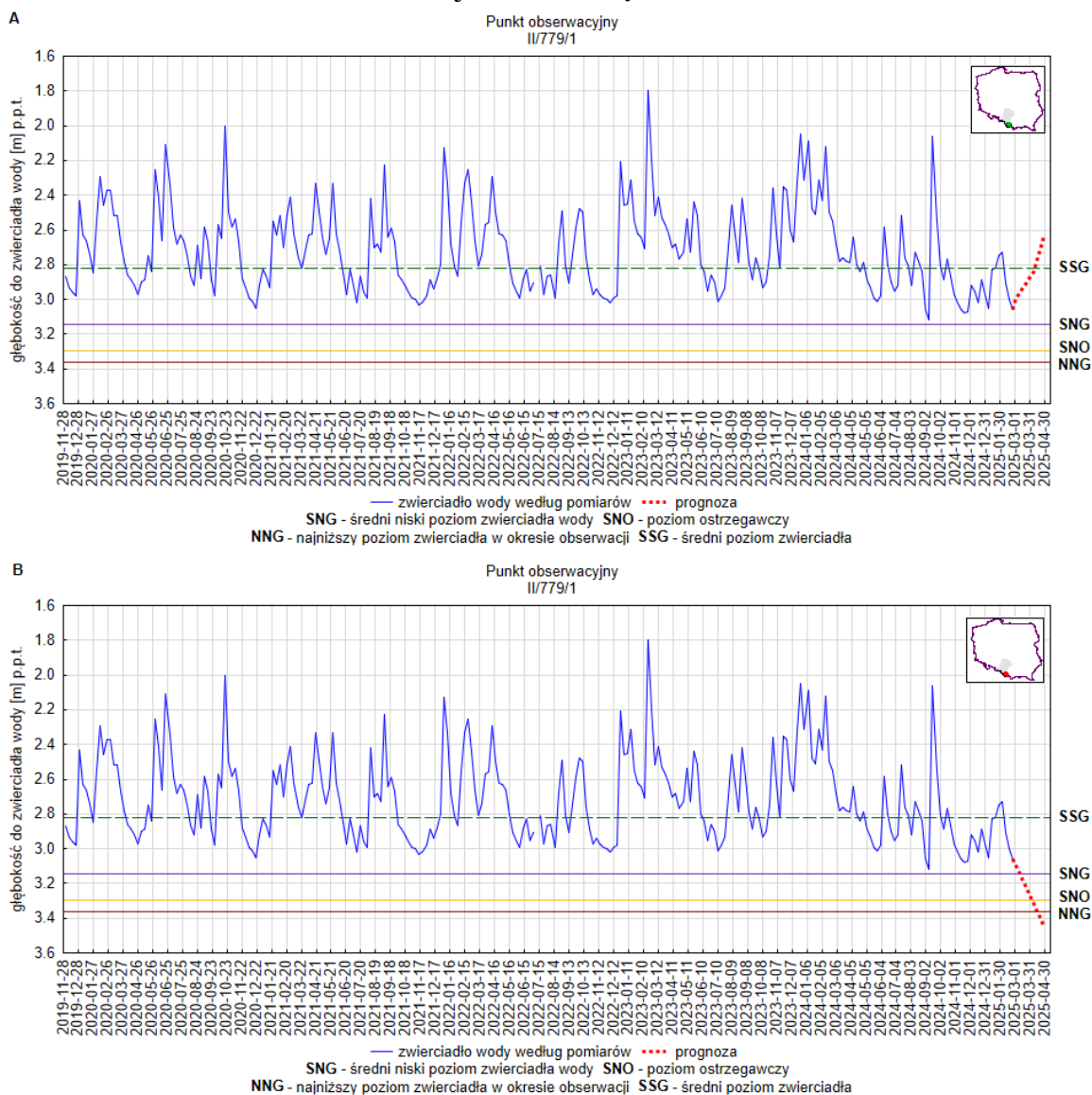
Województwo pomorskie



Rys. 18. Prognoza dotycząca stanu wód o zwierciadle swobodnym (gruntowych) na okres 01.04.2025 -30.04.2025 r. – stacja hydrogeologiczna nr II/1750/1 w miejscowości Borucino (woj. pomorskie).
A – prognoza przy założeniu scenariusza A; **B** – prognoza przy założeniu scenariusza B

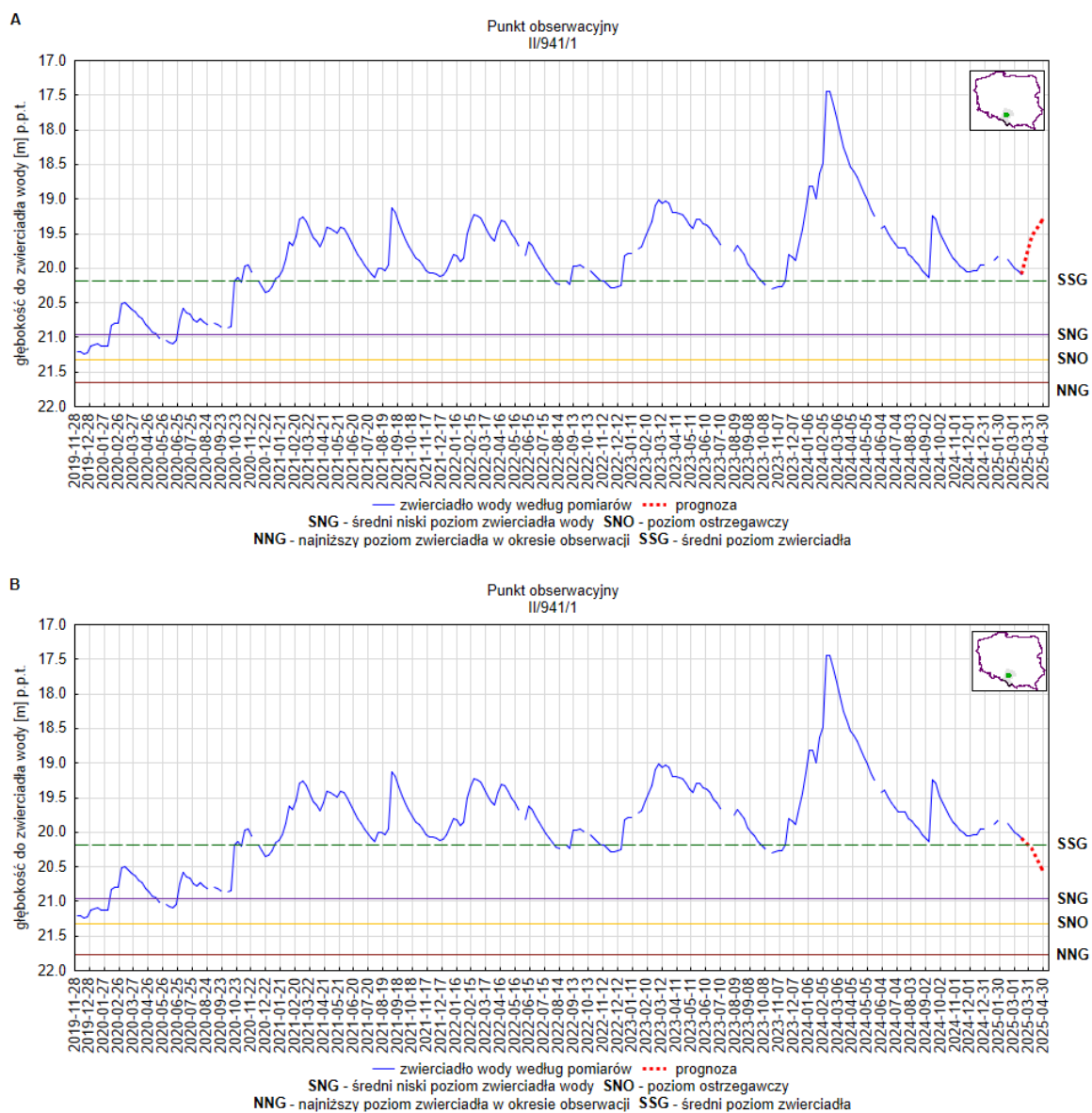
W punkcie obserwacyjnym nr II/1750/1 w miejscowości Borucino w województwie pomorskim nie prognozuje się wystąpienia niżówki hydrogeologicznej (scenariusz A i B; rys. 18).

Województwo śląskie



Rys. 19. Prognoza dotycząca stanu wód o zwierciadle swobodnym (gruntowych) na okres 01.04.2025 –30.04.2025 r. – stacja hydrogeologiczna nr II/779/1 w miejscowości Wieprz (woj. śląskie).
A – prognoza przy założeniu scenariusza A; B - prognoza przy założeniu scenariusza B

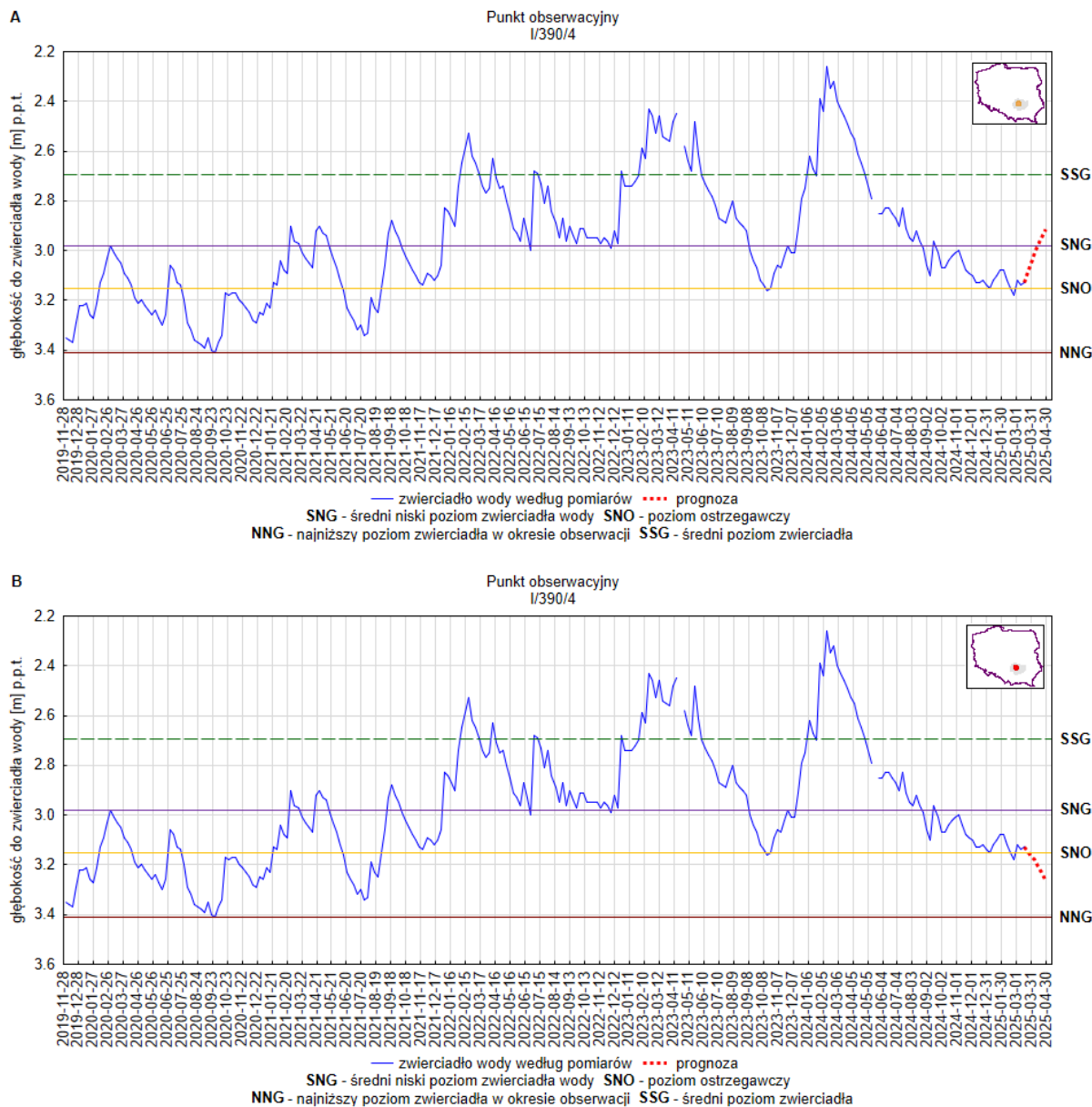
W punkcie obserwacyjnym nr II/779/1 w miejscowości Wieprz w województwie śląskim prognozuje się wystąpienie niżówki hydrogeologicznej (scenariusz B; rys. 19).



Rys. 20. Prognoza dotycząca stanu wód o zwierciadle swobodnym (gruntowych) na okres 01.04.2025 –30.04.2025 r. – stacja hydrogeologiczna nr II/941/1 w miejscowości Świerklaniec (woj. śląskie). **A** – prognoza przy założeniu scenariusza A; **B** - prognoza przy założeniu scenariusza B

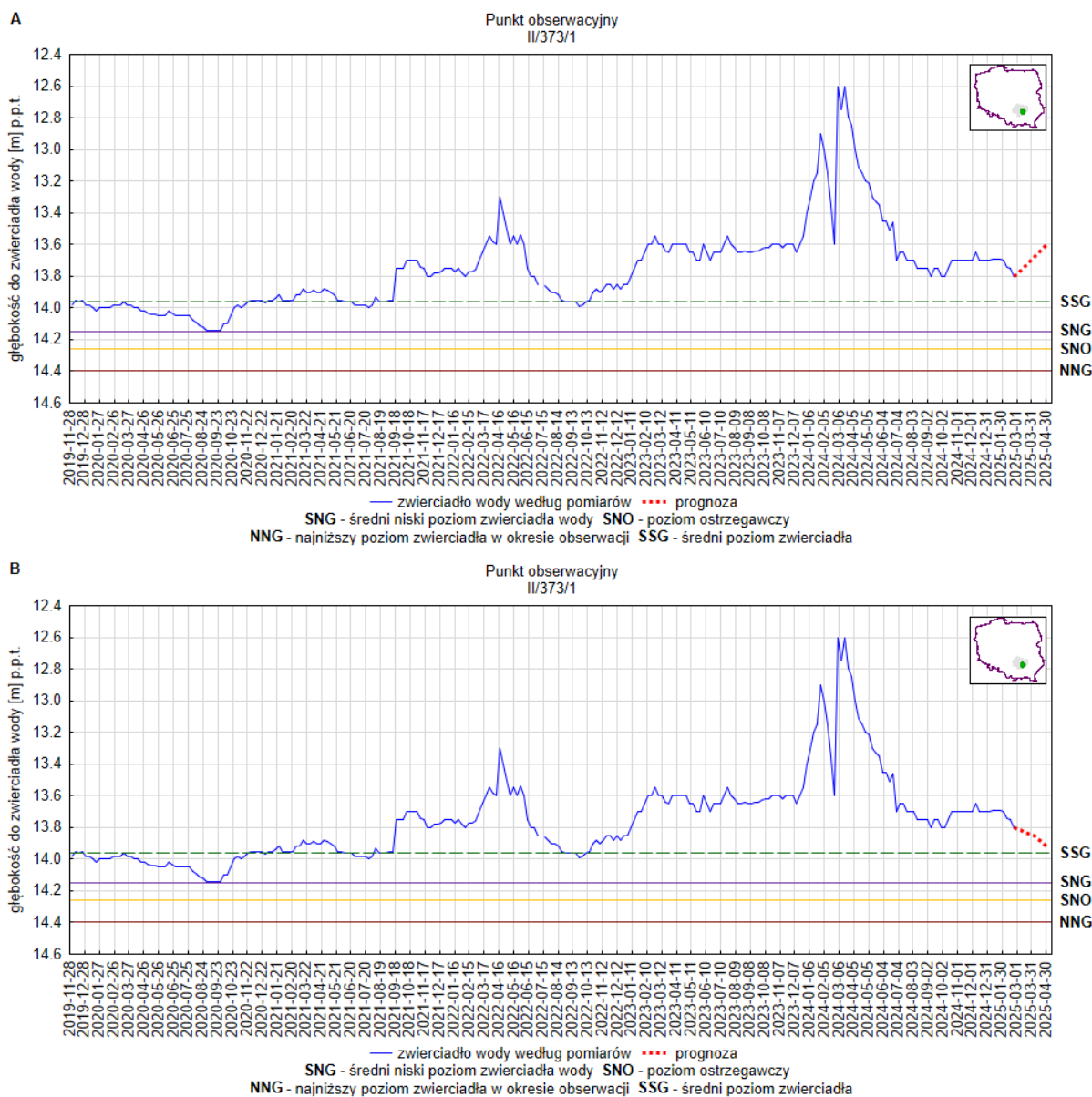
W punkcie obserwacyjnym nr II/941/1 w miejscowości Świerklaniec w województwie śląskim nie prognozuje się wystąpienia niżówki hydrogeologicznej (scenariusz A i B; rys. 20).

Województwo świętokrzyskie



Rys. 21. Prognoza dotycząca stanu wód o zwierniadle swobodnym (gruntowych) na okres 01.04.2025 –30.04.2025 r. – stacja hydrogeologiczna nr I/390/4 w miejscowości Nałęczów (woj. świętokrzyskie). **A** – prognoza przy założeniu scenariusza A; **B** – prognoza przy założeniu scenariusza B

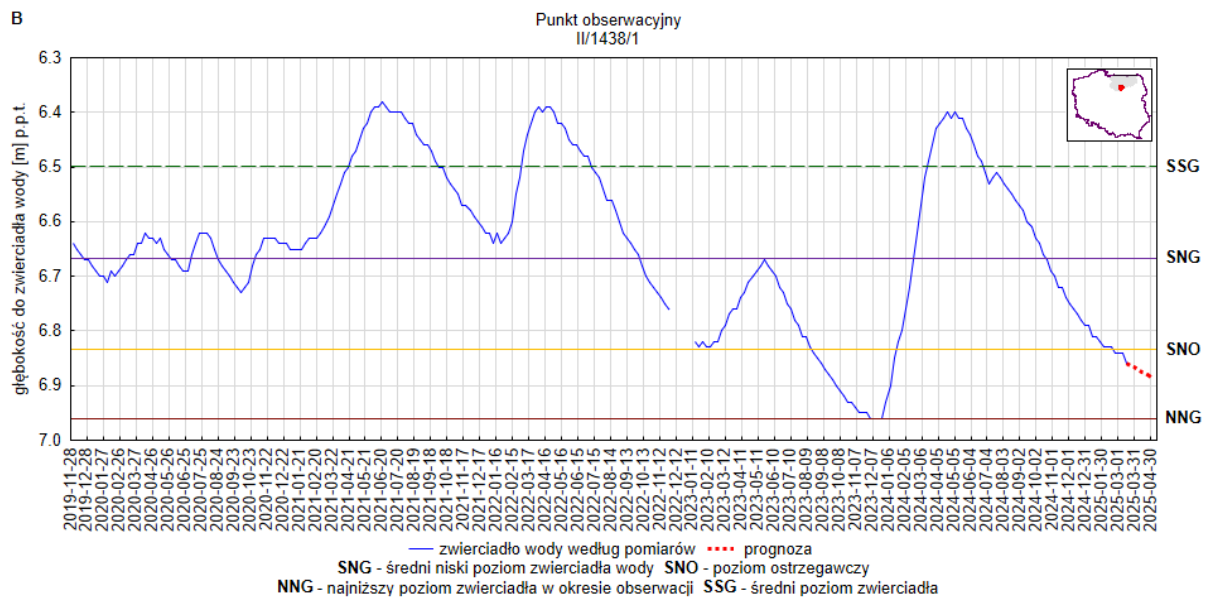
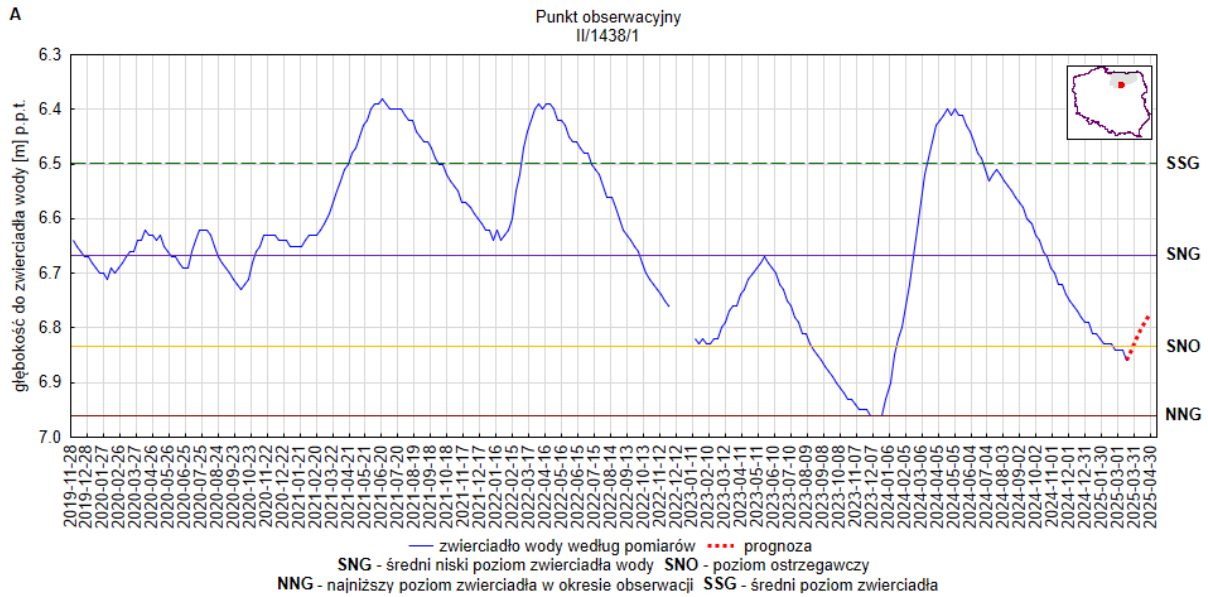
W punkcie obserwacyjnym nr I/390/4 w miejscowości Nałęczów w województwie świętokrzyskim prognozuje się wystąpienie niżówki hydrogeologicznej (scenariusz B; rys. 21).



Rys. 22. Prognoza dotycząca stanu wód o zwierciadle swobodnym (gruntowych) na okres 01.04.2025 –30.04.2025 r. – stacja hydrogeologiczna nr II/373/1 w miejscowości Kurozwęki (woj. świętokrzyskie).
A – prognoza przy założeniu scenariusza A; B – prognoza przy założeniu scenariusza B

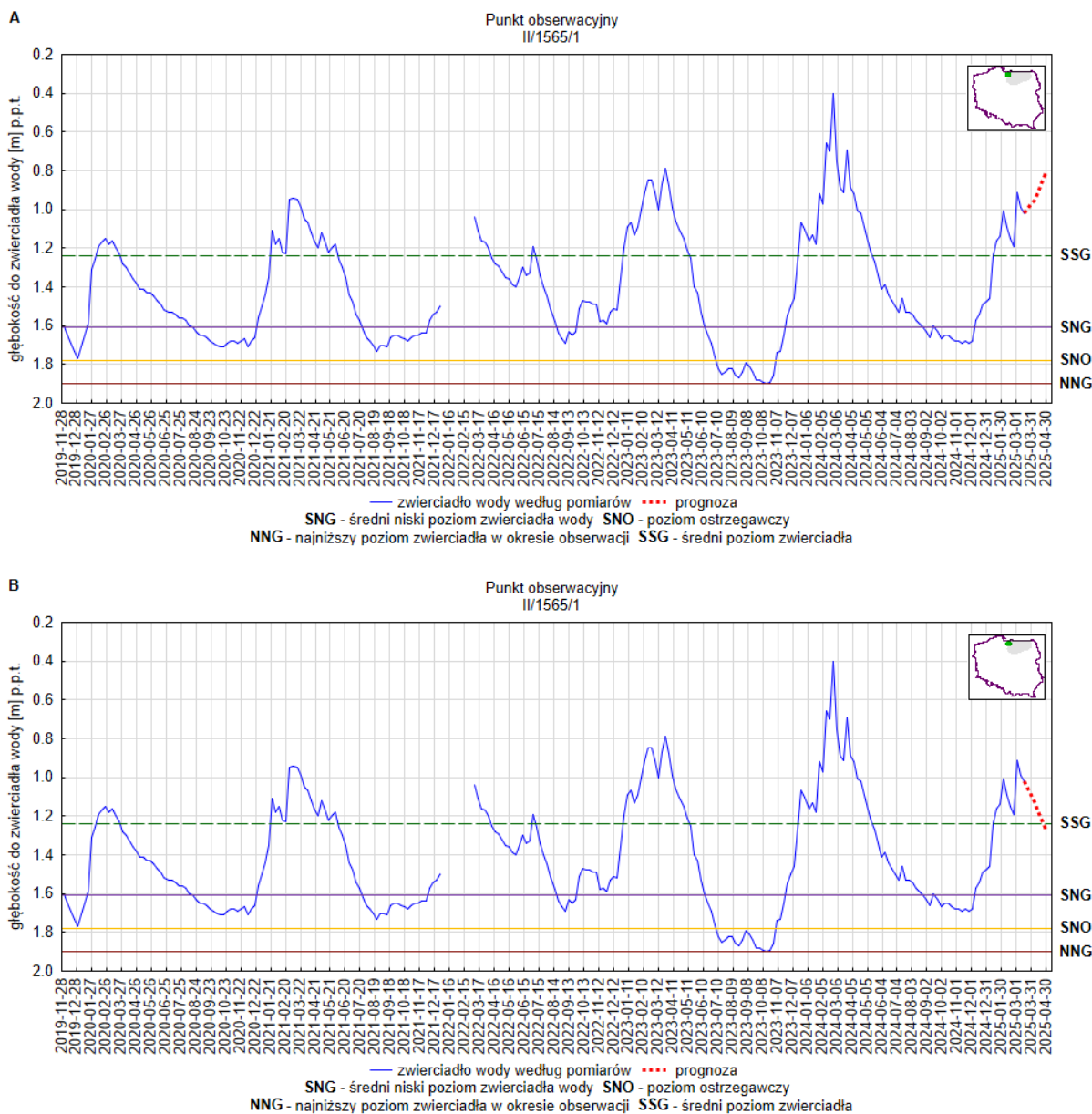
W punkcie obserwacyjnym nr II/373/1 w miejscowości Kurozwęki w województwie świętokrzyskim nie prognozuje się wystąpienia niżówki hydrogeologicznej (scenariusz A i B; rys. 22).

Województwo warmińsko-mazurskie



Rys. 23. Prognoza dotycząca stanu wód o zwierciadle swobodnym (gruntowych) na okres 01.04.2025 –30.04.2025 r. – stacja hydrogeologiczna nr II/1438/1 w miejscowości Muszaki (woj. warmińsko-mazurskie). **A** – prognoza przy założeniu scenariusza A; **B** – prognoza przy założeniu scenariusza B

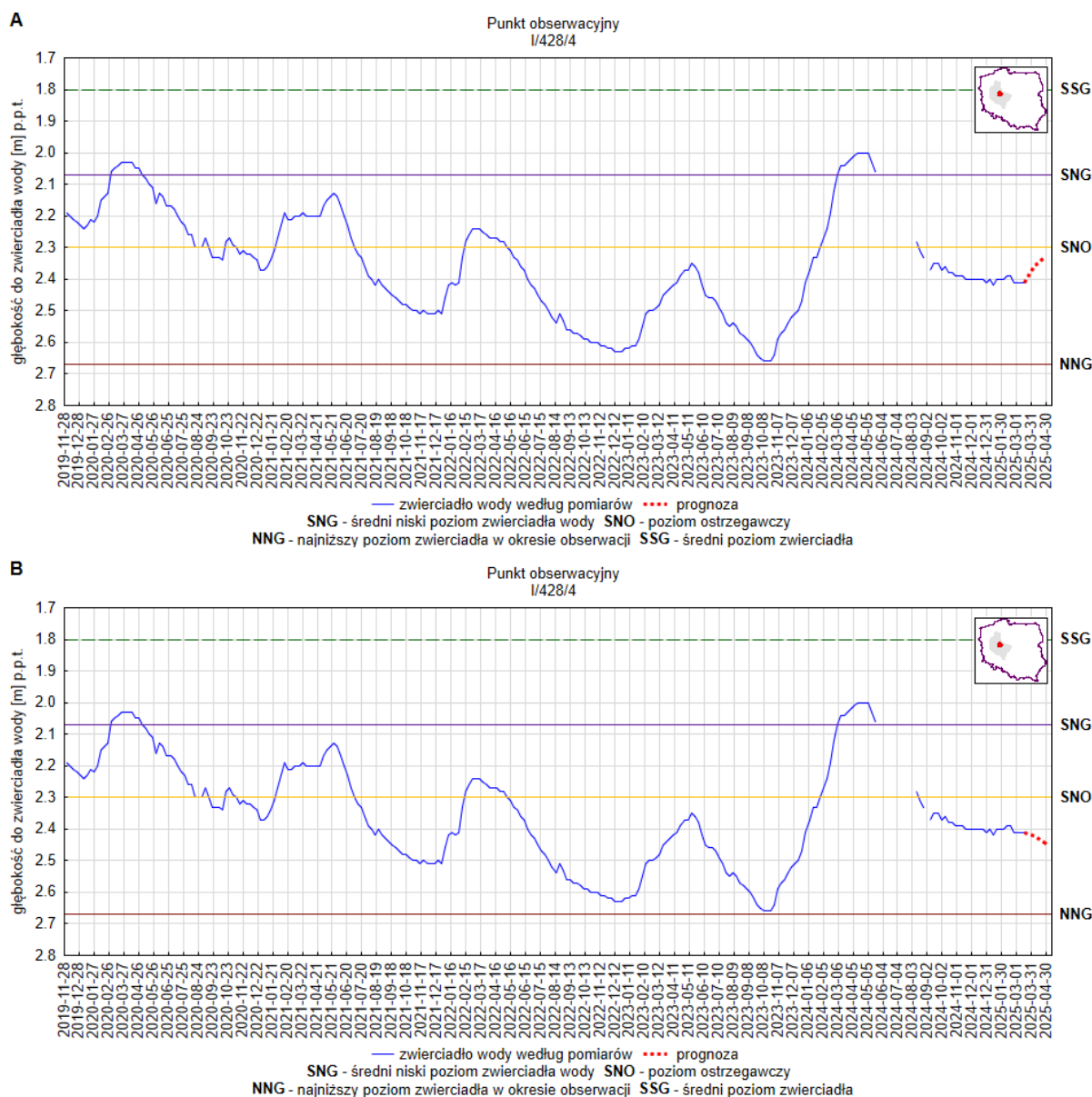
W punkcie obserwacyjnym II/1438/1 w miejscowości Muszaki w województwie warmińsko-mazurskim prognozuje się kontynuację niżówki hydrogeologicznej (scenariusz B; rys. 23).



Rys. 24. Prognoza dotycząca stanu wód o zwierciadle swobodnym (gruntowych) na okres 01.04.2025 –30.04.2025 r. – stacja hydrogeologiczna nr II/1565/1 w miejscowości Karczowiska Górne (woj. warmińsko-mazurskie). **A** – prognoza przy założeniu scenariusza A; **B** – prognoza przy założeniu scenariusza B

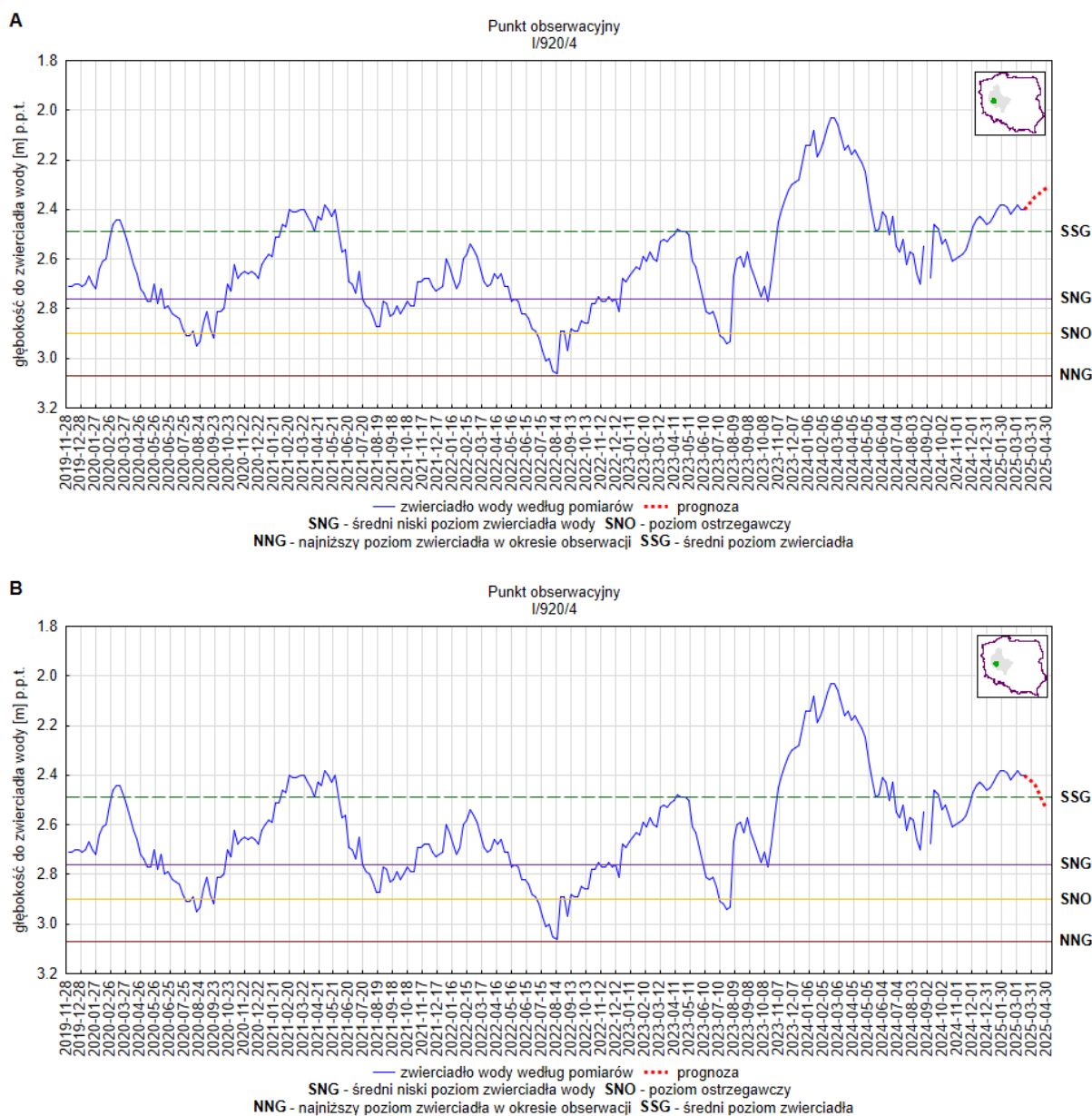
W punkcie obserwacyjnym II/1565/1 w miejscowości Karczowiska Górne w województwie warmińsko-mazurskim nie prognozuje się wystąpienia niżówki hydrogeologicznej (scenariusz A i B; rys. 24).

Województwo wielkopolskie



Rys. 25. Prognoza dotycząca stanu wód o zwiędziadle swobodnym (gruntowych) na okres 01.04.2025 –30.04.2025 r. – stacja hydrogeologiczna nr I/428/4 w miejscowości Czachurki (woj. wielkopolskie).
A – prognoza przy założeniu scenariusza A; B – prognoza przy założeniu scenariusza B

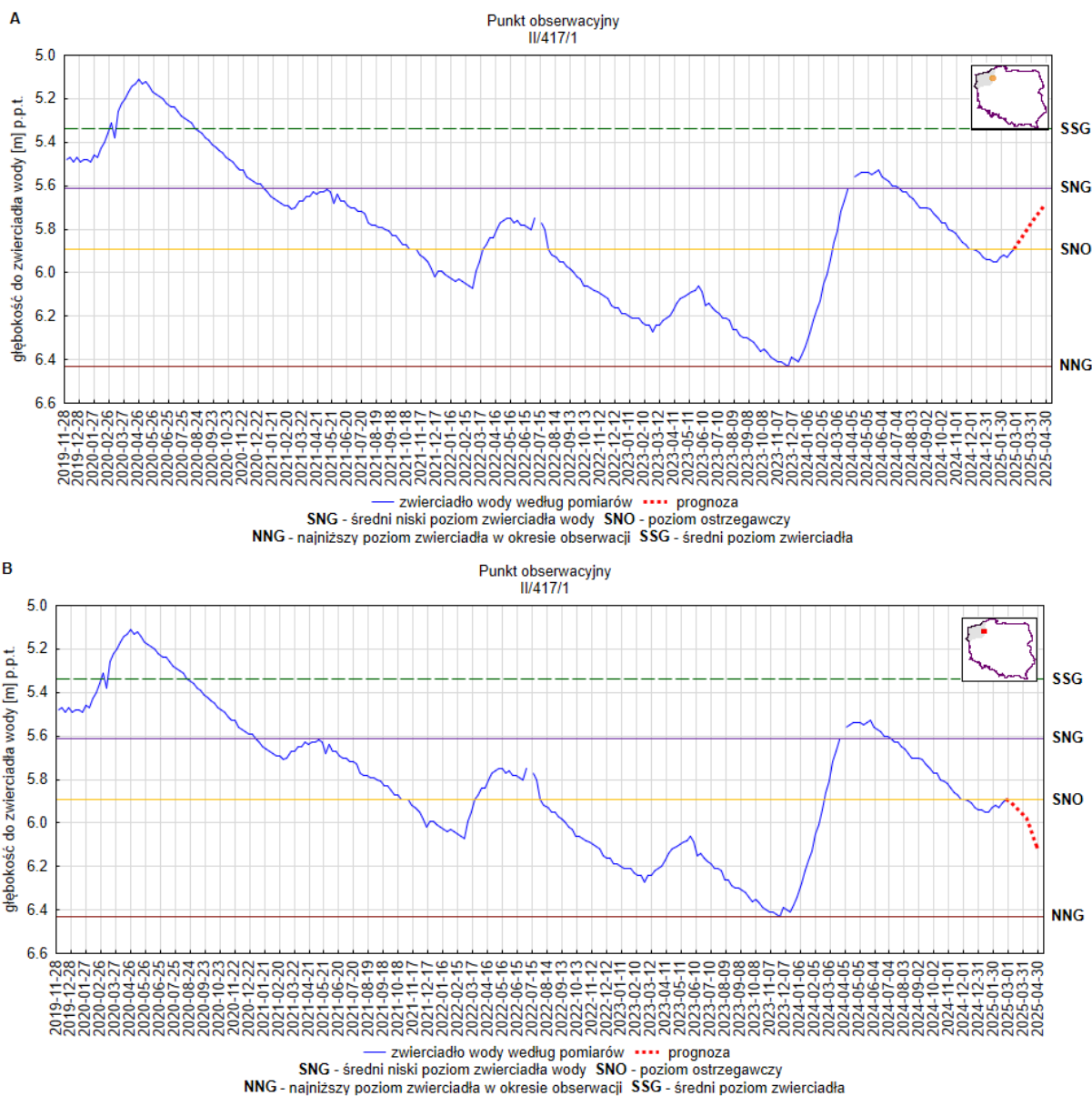
W punkcie obserwacyjnym nr I/428/4 w miejscowości Czachurki w województwie wielkopolskim prognozuje się kontynuację niżówki hydrogeologicznej (scenariusz A i B; rys. 25).



Rys. 26. Prognoza dotycząca stanu wód o zwierciadle swobodnym (gruntowych) na okres 01.04.2025 –30.04.2025 r. – stacja hydrogeologiczna nr I/920/4 w miejscowości Sepno (woj. wielkopolskie). **A** – prognoza przy założeniu scenariusza A; **B** – prognoza przy założeniu scenariusza B

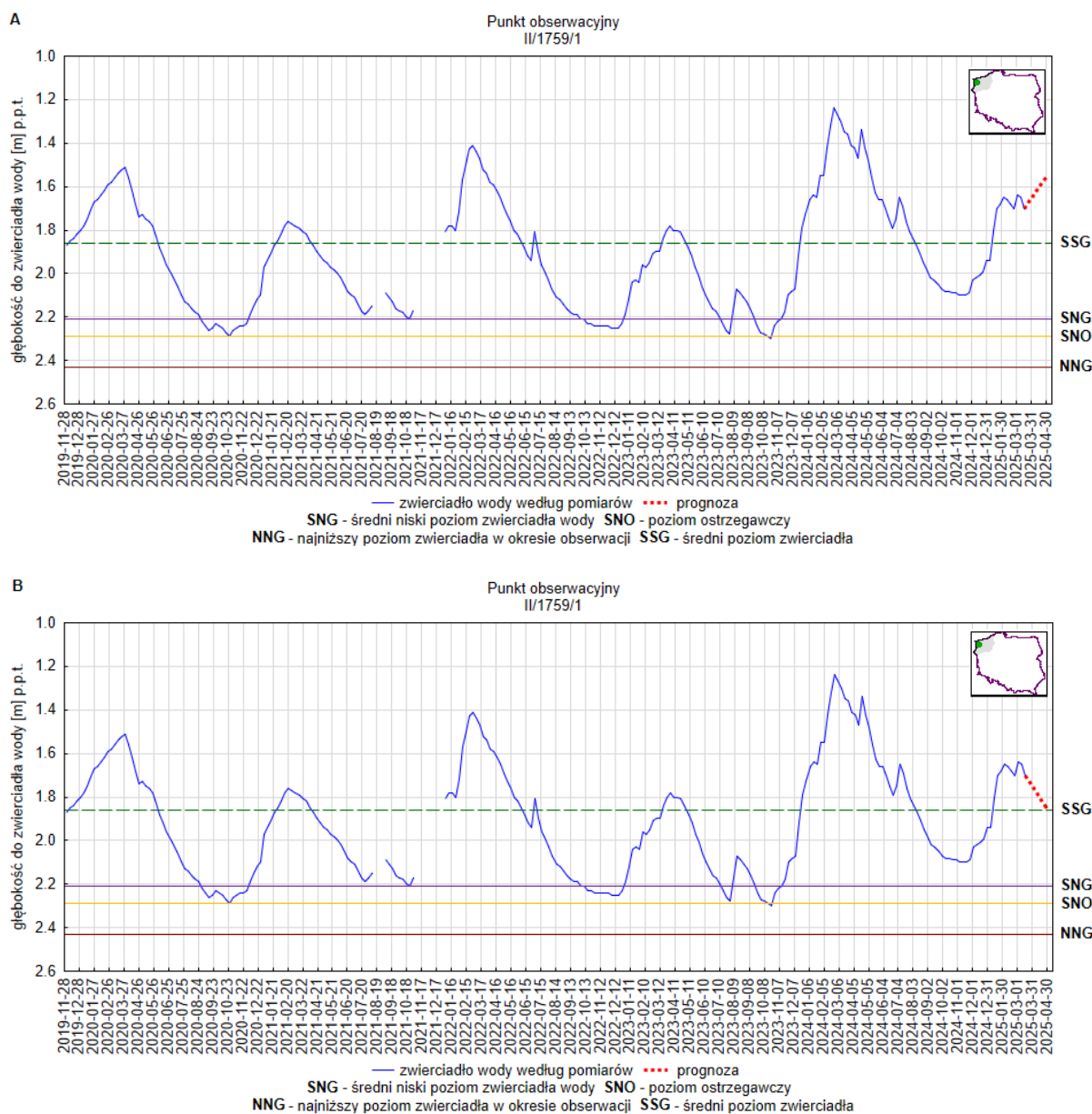
W punkcie obserwacyjnym nr I/920/4 w miejscowości Sepno w województwie wielkopolskim nie prognozuje się wystąpienia niżówki hydrogeologicznej (scenariusz A i B; rys. 26).

Województwo zachodniopomorskie



Rys. 27. Prognoza dotycząca stanu wód o zwierciadle swobodnym (gruntowych) na okres 01.04.2025 –30.04.2025 r. – stacja hydrogeologiczna nr II/417/1 w miejscowości Turowo (woj. zachodniopomorskie). **A** – prognoza przy założeniu scenariusza A; **B** – prognoza przy założeniu scenariusza B

W punkcie obserwacyjnym nr II/417/1 w miejscowości Turowo w województwie zachodniopomorskim prognozuje się kontynuację niżówki hydrogeologicznej (scenariusz B; rys. 27).



Rys. 28. Prognoza dotycząca stanu wód o zwierciadle swobodnym (gruntowych) na okres 01.04.2025 –30.04.2025 r. – stacja hydrogeologiczna nr II/1759/1 w miejscowości Krępsko (woj. zachodniopomorskie). **A** – prognoza przy założeniu scenariusza A; **B** – prognoza przy założeniu scenariusza B

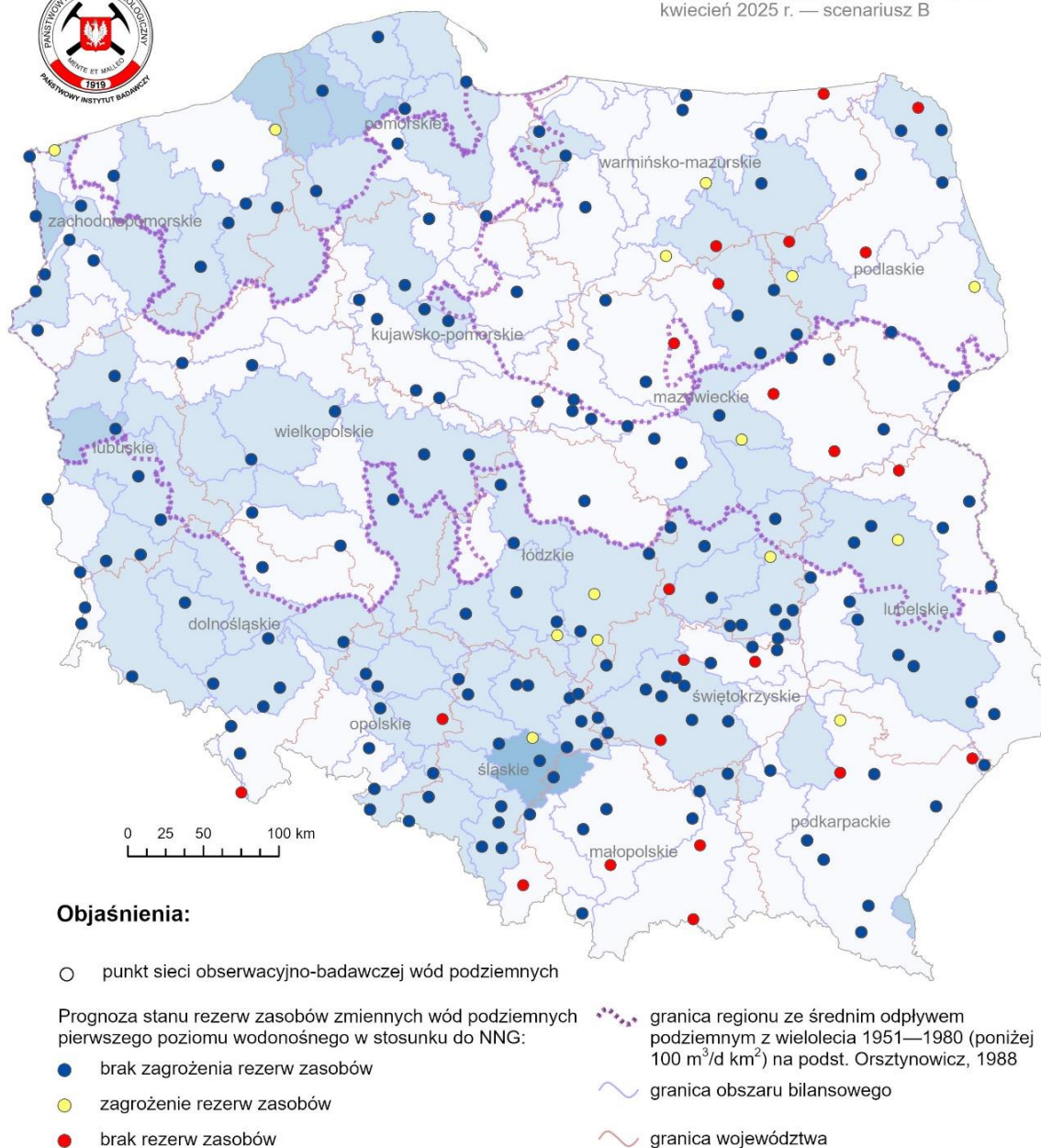
W punkcie obserwacyjnym nr II/1759/1 w miejscowości Krępsko w województwie zachodniopomorskim nie prognozuje się wystąpienia niżówki hydrogeologicznej (scenariusz A i B; rys. 28).

Część II

Prognoza zmian zasobów wód podziemnych



Prognoza hydrogeologiczna PSG 3/2025
kwiecień 2025 r. — scenariusz B



*zgodnie z definicją w Rozporządzeniu Ministra Środowiska z dnia 18 listopada 2016 r. w sprawie dokumentacji hydrogeologicznej i dokumentacji geologiczno-inżynierskiej (Dz. U. z 2016 r. poz. 2033)
**według Bazy danych zasobów dyspozycyjnych na obszarze kraju (PIG-PIB); stan na grudzień 2024 r.

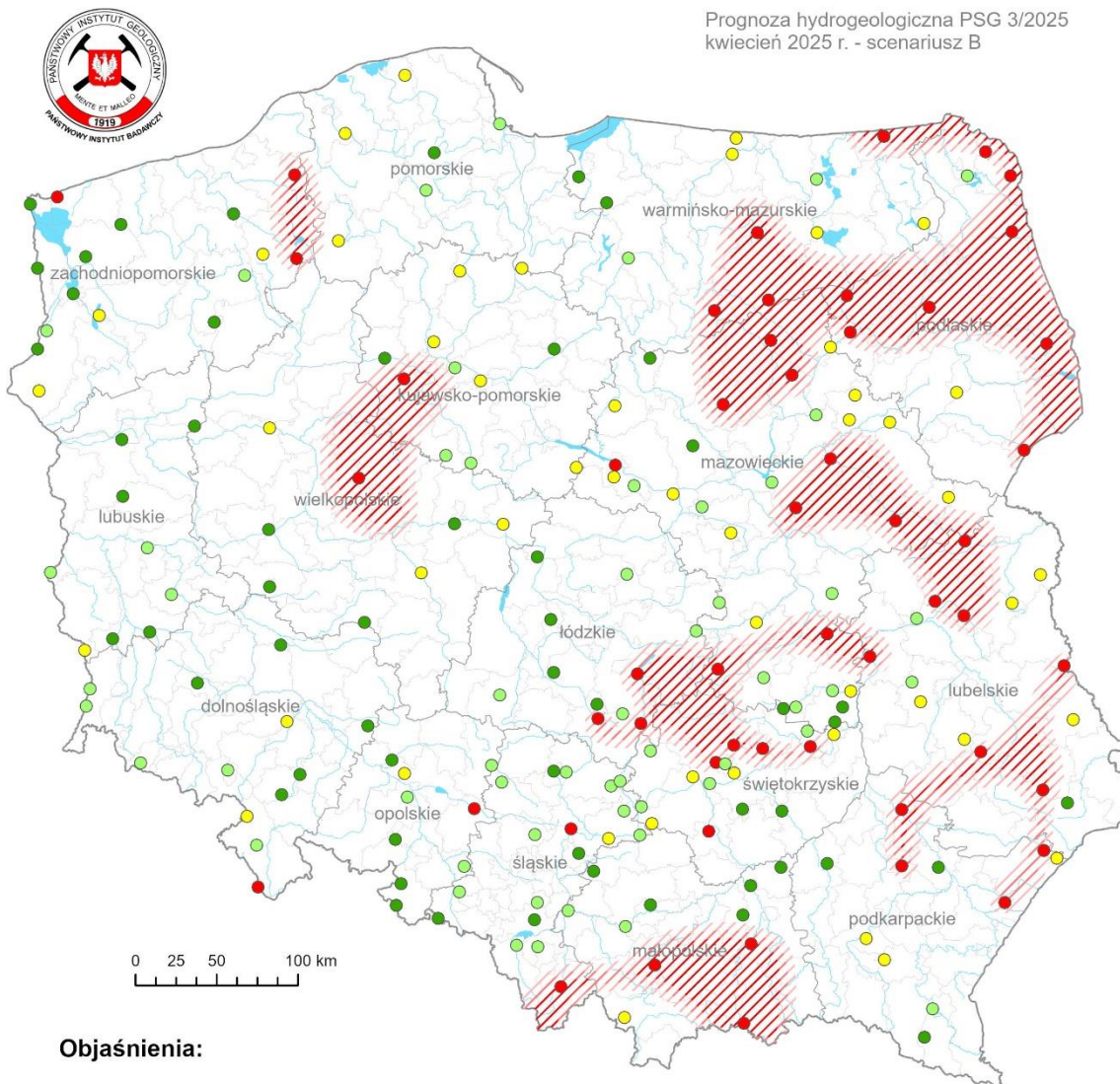
Rys. 29. Prognoza poziomu rezerw zasobów zmiennych wód podziemnych na kwiecień 2025 r. według scenariusza B w odniesieniu do najniższego zaobserwowanego w wieloleciu położenia zwierciadła wód (NNG)

Rycina nr 29 przedstawia prognozę zmian poziomu rezerw wód podziemnych w okresie od 1 do 30 kwietnia 2025 r. w odniesieniu do najniższego zaobserwowanego w wieloleciu położenia zwierciadła płytkich wód podziemnych. Jest to interpretacja prognozy dotycząca scenariusza B, czyli zakładającego deficyt opadów atmosferycznych w nadchodzących tygodniach.

Z przeprowadzonych analiz wynika, że w okresie objętym prognozą na przeważającym obszarze kraju stan rezerw zasobów zmiennych kształtować się będzie na bezpiecznym poziomie (wskaźnik R_z większy niż 1). Jednocześnie prognozuje się, że brak rezerw zasobów w odniesieniu do najniższego obserwowanego w wieloleciu położenia zwierciadła wód podziemnych może wystąpić w niektórych rejonach, głównie we wschodniej i południowej części kraju, szczególnie w obrębie województw: mazowieckiego, warmińsko-mazurskiego, podlaskiego, małopolskiego, świętokrzyskiego, podkarpackiego. Sporadycznie, lokalnie do braku rezerw zasobów zmiennych może dojść także na obszarze innych województw, w szczególności takich jak: lubelskie, dolnośląskie, opolskie i śląskie.

Część III

Prognoza zagrożeń wód podziemnych



Objaśnienia:

○ punkt sieci obserwacyjno-badawczej wód podziemnych

Ocena zagrożenia hydrogeologicznego

ocena zagrożenia wystąpienia zjawiska niżówki hydrogeologicznej na podstawie prognozowanych wartości średnich położenia zwierciadła wody dla danego miesiąca według scenariusza B:

- bardzo niski stopień zagrożenia - stan wyższy niż SSG
- niski stopień zagrożenia - stan wyższy niż SNG i jednocześnie niższy lub równy SSG
- umiarkowany stopień zagrożenia - stan wyższy niż SNO i jednocześnie niższy lub równy SNG
- wysoki stopień zagrożenia - stan równy lub niższy niż SNO

▨ obszar o wysokim prawdopodobieństwie wystąpienia niżówki hydrogeologicznej (prognoza według scenariusza B)

~ rzeka
 jezioro, zbiornik wodny
 granica województwa

Rys. 30. Prognoza zagrożeń wód podziemnych - występowanie niżówki hydrogeologicznej w okresie 1-30.04.2025 r. według scenariusza B

Rysunek nr 30 przedstawia prognozę występowania niżówki hydrogeologicznej według scenariusza B, zakładającego deficyt opadów atmosferycznych w najbliższych tygodniach. Według tego wariantu w okresie od 1 do 30 kwietnia 2025 r. prognozuje się wystąpienie niżówki hydrogeologicznej w skali regionalnej w obrębie województw: podlaskiego, warmińsko-mazurskiego, mazowieckiego, małopolskiego, a także w mniejszym stopniu, w województwach: lubelskim, zachodniopomorskim, kujawsko-pomorskim, wielkopolskim, łódzkim, świętokrzyskim, śląskim i podkarpackim. Obniżenie zwierciadła płytkich wód podziemnych poniżej stanu niskiego ostrzegawczego (SNO) może występować także w skali lokalnej na innych niż wymienione powyżej obszarach kraju.

W związku z obecną i prognozowaną sytuacją hydrogeologiczną państwowa służba geologiczna wydaje Ostrzeżenie hydrogeologiczne nr 3/2025, zgodnie z którym w kwietniu 2025 r. stan zagrożenia hydrogeologicznego będzie obowiązywać w województwach: podlaskim, warmińsko-mazurskim, mazowieckim, małopolskim oraz lubelskim, zachodniopomorskim, kujawsko-pomorskim, wielkopolskim, łódzkim, świętokrzyskim, śląskim i podkarpackim.

Czas aktualizacji prognozy będzie dostosowany do wyników bieżącej analizy sytuacji hydrogeologicznej w kraju.

Niniejsza prognoza publikowana jest na stronie internetowej państwowej służby geologicznej pod adresem: <http://www.pgi.gov.pl/psh/psh-2/aktualna-sytuacja-hydrogeologiczna.html>.



Państwowy Instytut Geologiczny
Państwowy Instytut Badawczy

państwowa służba
geologiczna

ul. Rakowiecka 4,
00-975 Warszawa

pgi.gov.pl

komprog@pgi.gov.pl